

# Intégrateurs temporels numériques conservatifs pour la dynamique non linéaire.

## Application à la synthèse sonore

Cyril Touzé

IMSIA

Institut des Sciences de la Mécanique et Applications Industrielles  
CNRS - ENSTA ParisTech - EDF - CEA  
cyril.touze@ensta-paristech.fr

GDR DyNoLin

Dynamique des Structures et approches de dynamique non linéaire

Lundi 10 octobre 2016

# INTÉGRATEURS NUMÉRIQUES POUR LA DYNAMIQUE NON LINÉAIRE

1 oscillateur

N degrés de  
liberté

Applications

- Dynamique non linéaire
    - comportements numériquement raides (contacts)
    - grand nombre de degrés de liberté (turbulence d'ondes)
- ↪ l'emploi de méthode numérique standard conduit souvent à des problèmes (stabilité, convergence)

# INTÉGRATEURS NUMÉRIQUES POUR LA DYNAMIQUE NON LINÉAIRE

1 oscillateur

N degrés de  
liberté

Applications

- Dynamique non linéaire
  - comportements numériquement raides (contacts)
  - grand nombre de degrés de liberté (turbulence d'ondes)

↪ l'emploi de méthode numérique standard conduit souvent à des problèmes (stabilité, convergence)
- Propriétés fondamentales des systèmes
  - conservation de l'énergie
  - symplecticité
- Conserver ses invariants au niveau discret permet d'aboutir à des intégrateurs numériques de meilleure qualité.

## 1 OSCILLATEUR

- 1 oscillateur linéaire
- Équation de Duffing
- Oscillateur à impact

## 2 N DEGRÉS DE LIBERTÉ

- Systèmes Hamiltoniens, transformations symplectiques
- Schéma de Störmer-Verlet
- Méthodes de Runge-Kutta
- Symplecticité et conservation de l'énergie

## 3 APPLICATIONS

- Plaque mince : synthèse sonore de gong
- Corde avec contact unilatéral

## 1 oscillateur

1 oscillateur  
linéaire

Équation de  
Duffing

Oscillateur à  
impact

N degrés de  
liberté

Applications

## 1 1 OSCILLATEUR

- 1 oscillateur linéaire
- Équation de Duffing
- Oscillateur à impact

## 2 N DEGRÉS DE LIBERTÉ

- Systèmes Hamiltoniens, transformations symplectiques
- Schéma de Störmer-Verlet
- Méthodes de Runge-Kutta
- Symplecticité et conservation de l'énergie

## 3 APPLICATIONS

- Plaque mince : synthèse sonore de gong
- Corde avec contact unilatéral

- pas de temps :  $h$ , fréquence d'échantillonnage :  $f_e = \frac{1}{h}$
- incrément positif et négatif :  $e_{t+}(u) = u_{n+1}$ ,  $e_{t-}(u) = u_{n-1}$
- opérateurs de dérivation :

$$\delta_{t+} = \frac{1}{h}(e_{t+} - 1)$$

$$\delta_{t-} = \frac{1}{h}(1 - e_{t-})$$

$$\delta_{t.} = \frac{1}{2h}(e_{t+} - e_{t-})$$

$$\delta_{tt} = \frac{1}{h^2}(e_{t+} - 2 + e_{t-})$$

- opérateurs de moyennage

$$\mu_{t+} = \frac{1}{2}(e_{t+} + 1)$$

$$\mu_{t-} = \frac{1}{2}(1 + e_{t-})$$

$$\mu_{t.} = \frac{1}{2}(e_{t+} + e_{t-})$$

## 1 oscillateur

### 1 oscillateur linéaire

Équation de  
Duffing

Oscillateur à  
impact

## N degrés de liberté

## Applications

- 1** OSCILLATEUR
  - 1 oscillateur linéaire
  - Équation de Duffing
  - Oscillateur à impact

- 2** N DEGRÉS DE LIBERTÉ
  - Systèmes Hamiltoniens, transformations symplectiques
  - Schéma de Störmer-Verlet
  - Méthodes de Runge-Kutta
  - Symplecticité et conservation de l'énergie

- 3** APPLICATIONS
  - Plaque mince : synthèse sonore de gong
  - Corde avec contact unilatéral

## OSCILLATEUR HARMONIQUE

- Équation du mouvement :

$$\ddot{u} + \omega_0^2 u = 0$$

avec conditions initiales  $u(0) = u_0, \dot{u}(0) = v_0$ .

- solution en temps

$$u(t) = u_0 \cos \omega_0 t + \frac{v_0}{\omega_0} \sin \omega_0 t$$

- Énergie

$$H = T + U = \frac{1}{2} \dot{u}^2 + \frac{1}{2} \omega_0^2 u^2$$

- conservation de l'énergie en temps continu

$$\frac{dH}{dt} = 0 \quad \Rightarrow \quad H(t) = H_0.$$



- Introduisons un  $\theta$ -schéma pour l'oscillateur harmonique sous la forme :

$$\delta_{tt}u + \omega_0^2(\theta + (1 - \theta)\mu_t.)u = 0 \quad (1)$$

- Cas particuliers:

$$\theta = 1 \quad : \quad \delta_{tt}u + \omega_0^2u = 0$$

$$\theta = 0 \quad : \quad \delta_{tt}u + \omega_0^2\mu_t.u = 0$$

- Introduisons un  $\theta$ -schéma pour l'oscillateur harmonique sous la forme :

$$\delta_{tt}u + \omega_0^2(\theta + (1 - \theta)\mu_t)u = 0 \quad (1)$$

- Cas particuliers:

$$\theta = 1 \quad : \quad \delta_{tt}u + \omega_0^2u = 0$$

$$\theta = 0 \quad : \quad \delta_{tt}u + \omega_0^2\mu_t.u = 0$$

- Énergie discrète liée à ces schémas ?  
On multiplie (1) par la vitesse  $\delta_t.u$ :

$$\delta_{tt}u\delta_t.u + \omega_0^2(\theta u + (1 - \theta)\mu_t.u)\delta_t.u = 0$$

- Introduisons un  $\theta$ -schéma pour l'oscillateur harmonique sous la forme :

$$\delta_{tt}u + \omega_0^2(\theta + (1 - \theta)\mu_t)u = 0 \quad (1)$$

- Cas particuliers:

$$\theta = 1 \quad : \quad \delta_{tt}u + \omega_0^2u = 0$$

$$\theta = 0 \quad : \quad \delta_{tt}u + \omega_0^2\mu_t.u = 0$$

- Énergie discrète liée à ces schémas ?

On multiplie (1) par la vitesse  $\delta_t.u$ :

$$\delta_{tt}u\delta_t.u + \omega_0^2(\theta u + (1 - \theta)\mu_t.u)\delta_t.u = 0$$

- Identités remarquables:

$$\delta_{tt}u\delta_t.u = \frac{1}{h^2} (u_{n+1} - 2u_n + u_{n-1}) \frac{1}{2h} (u_{n+1} - u_{n-1})$$

## UNE FAMILLE DE SCHÉMAS

- Introduisons un  $\theta$ -schéma pour l'oscillateur harmonique sous la forme :

$$\delta_{tt}u + \omega_0^2(\theta + (1 - \theta)\mu_t)u = 0 \quad (1)$$

- Cas particuliers:

$$\theta = 1 \quad : \quad \delta_{tt}u + \omega_0^2u = 0$$

$$\theta = 0 \quad : \quad \delta_{tt}u + \omega_0^2\mu_t.u = 0$$

- Énergie discrète liée à ces schémas ?

On multiplie (1) par la vitesse  $\delta_t.u$ :

$$\delta_{tt}u\delta_t.u + \omega_0^2(\theta u + (1 - \theta)\mu_t.u)\delta_t.u = 0$$

- Identités remarquables:

$$\delta_{tt}u\delta_t.u = \frac{1}{2h^3} \left( u_{n+1}^2 - u_{n-1}^2 - 2u_n u_{n+1} + 2u_n u_{n-1} \right)$$

- Introduisons un  $\theta$ -schéma pour l'oscillateur harmonique sous la forme :

$$\delta_{tt}u + \omega_0^2(\theta + (1 - \theta)\mu_t)u = 0 \quad (1)$$

- Cas particuliers:

$$\theta = 1 \quad : \quad \delta_{tt}u + \omega_0^2u = 0$$

$$\theta = 0 \quad : \quad \delta_{tt}u + \omega_0^2\mu_t.u = 0$$

- Énergie discrète liée à ces schémas ?

On multiplie (1) par la vitesse  $\delta_t.u$ :

$$\delta_{tt}u\delta_t.u + \omega_0^2(\theta u + (1 - \theta)\mu_t.u)\delta_t.u = 0$$

- Identités remarquables:

$$\delta_{tt}u\delta_t.u = \frac{1}{h} \left[ \frac{1}{2h^2} \left[ (u_{n+1} - u_n)^2 - (u_n - u_{n-1})^2 \right] \right]$$

- Introduisons un  $\theta$ -schéma pour l'oscillateur harmonique sous la forme :

$$\delta_{tt}u + \omega_0^2(\theta + (1 - \theta)\mu_t.)u = 0 \quad (1)$$

- Cas particuliers:

$$\theta = 1 \quad : \quad \delta_{tt}u + \omega_0^2u = 0$$

$$\theta = 0 \quad : \quad \delta_{tt}u + \omega_0^2\mu_t.u = 0$$

- Énergie discrète liée à ces schémas ?

On multiplie (1) par la vitesse  $\delta_t.u$ :

$$\delta_{tt}u\delta_t.u + \omega_0^2(\theta u + (1 - \theta)\mu_t.u)\delta_t.u = 0$$

- Identités remarquables:

$$\delta_{tt}u\delta_t.u = \delta_{t+} \left[ \frac{1}{2h^2} (u_n - u_{n-1})^2 \right]$$

## UNE FAMILLE DE SCHÉMAS

- Introduisons un  $\theta$ -schéma pour l'oscillateur harmonique sous la forme :

$$\delta_{tt}u + \omega_0^2(\theta + (1 - \theta)\mu_t.)u = 0 \quad (1)$$

- Cas particuliers:

$$\theta = 1 \quad : \quad \delta_{tt}u + \omega_0^2u = 0$$

$$\theta = 0 \quad : \quad \delta_{tt}u + \omega_0^2\mu_t.u = 0$$

- Énergie discrète liée à ces schémas ?

On multiplie (1) par la vitesse  $\delta_t.u$ :

$$\delta_{tt}u\delta_t.u + \omega_0^2(\theta u + (1 - \theta)\mu_t.u)\delta_t.u = 0$$

- Identités remarquables:

$$\delta_{tt}u\delta_t.u = \delta_{t+} \left( \frac{1}{2}(\delta_t - u)^2 \right)$$

- Introduisons un  $\theta$ -schéma pour l'oscillateur harmonique sous la forme :

$$\delta_{tt}u + \omega_0^2(\theta + (1 - \theta)\mu_t)u = 0 \quad (1)$$

- Cas particuliers:

$$\theta = 1 \quad : \quad \delta_{tt}u + \omega_0^2u = 0$$

$$\theta = 0 \quad : \quad \delta_{tt}u + \omega_0^2\mu_t.u = 0$$

- Énergie discrète liée à ces schémas ?

On multiplie (1) par la vitesse  $\delta_t.u$ :

$$\delta_{tt}u\delta_t.u + \omega_0^2(\theta u + (1 - \theta)\mu_t.u)\delta_t.u = 0$$

- Identités remarquables:

$$\delta_{tt}u\delta_t.u = \delta_{t+} \left( \frac{1}{2}(\delta_{t-}u)^2 \right)$$

$$u\delta_t.u = \delta_{t+} \left( \frac{1}{2}ue_{t-}u \right)$$



- Introduisons un  $\theta$ -schéma pour l'oscillateur harmonique sous la forme :

$$\delta_{tt}u + \omega_0^2(\theta + (1 - \theta)\mu_t)u = 0 \quad (1)$$

- Cas particuliers:

$$\theta = 1 \quad : \quad \delta_{tt}u + \omega_0^2u = 0$$

$$\theta = 0 \quad : \quad \delta_{tt}u + \omega_0^2\mu_t.u = 0$$

- Énergie discrète liée à ces schémas ?

On multiplie (1) par la vitesse  $\delta_t.u$ :

$$\delta_{tt}u\delta_t.u + \omega_0^2(\theta u + (1 - \theta)\mu_t.u)\delta_t.u = 0$$

- Identités remarquables:

$$\delta_{tt}u\delta_t.u = \delta_{t+} \left( \frac{1}{2}(\delta_t.u)^2 \right)$$

$$u\delta_t.u = \delta_{t+} \left( \frac{1}{2}ue_{t-u} \right)$$

$$\mu_t.u\delta_t.u = \delta_{t+} \left( \frac{1}{2}\mu_{t-u}u^2 \right)$$

- Introduisons un  $\theta$ -schéma pour l'oscillateur harmonique sous la forme :

$$\delta_{tt}u + \omega_0^2(\theta + (1 - \theta)\mu_t.)u = 0 \quad (1)$$

- Cas particuliers:

$$\theta = 1 \quad : \quad \delta_{tt}u + \omega_0^2u = 0$$

$$\theta = 0 \quad : \quad \delta_{tt}u + \omega_0^2\mu_t.u = 0$$

- Énergie discrète liée à ces schémas ?

On multiplie (1) par la vitesse  $\delta_t.u$ :

$$\delta_{t+} \left( \frac{1}{2}(\delta_t.u)^2 + \omega_0^2 \left( \theta \frac{1}{2}u e_{t-u} + (1 - \theta) \frac{1}{2}\mu_t.u^2 \right) \right) = 0$$

- Identités remarquables:

$$\delta_{tt}u \delta_t.u = \delta_{t+} \left( \frac{1}{2}(\delta_t.u)^2 \right)$$

$$u \delta_t.u = \delta_{t+} \left( \frac{1}{2}u e_{t-u} \right)$$

$$\mu_t.u \delta_t.u = \delta_{t+} \left( \frac{1}{2}\mu_t.u^2 \right)$$

- Introduisons un  $\theta$ -schéma pour l'oscillateur harmonique sous la forme :

$$\delta_{tt}u + \omega_0^2(\theta + (1 - \theta)\mu_t.)u = 0 \quad (1)$$

- Cas particuliers:

$$\theta = 1 \quad : \quad \delta_{tt}u + \omega_0^2u = 0$$

$$\theta = 0 \quad : \quad \delta_{tt}u + \omega_0^2\mu_t.u = 0$$

- Énergie discrète liée à ces schémas ?

On multiplie (1) par la vitesse  $\delta_t.u$ :

$$\delta_{t+}h = 0 \quad \text{avec} \quad h = t+u = \frac{1}{2}(\delta_{t-}u)^2 + \omega_0^2 \left( \theta \frac{1}{2}ue_{t-u} + (1 - \theta) \frac{1}{2}\mu_{t-}u^2 \right)$$

- Identités remarquables:

$$\delta_{tt}u\delta_t.u = \delta_{t+} \left( \frac{1}{2}(\delta_{t-}u)^2 \right)$$

$$u\delta_t.u = \delta_{t+} \left( \frac{1}{2}ue_{t-u} \right)$$

$$\mu_t.u\delta_t.u = \delta_{t+} \left( \frac{1}{2}\mu_{t-}u^2 \right)$$

- Introduisons un  $\theta$ -schéma pour l'oscillateur harmonique sous la forme :

$$\delta_{tt}u + \omega_0^2(\theta + (1 - \theta)\mu_t)u = 0 \quad (1)$$

- Cas particuliers:

$$\theta = 1 \quad : \quad \delta_{tt}u + \omega_0^2u = 0$$

$$\theta = 0 \quad : \quad \delta_{tt}u + \omega_0^2\mu_t.u = 0$$

- Énergie discrète liée à ces schémas ?

On multiplie (1) par la vitesse  $\delta_t.u$ :

$$\delta_{t+}h = 0 \quad \text{avec} \quad h = t+u = \frac{1}{2}(\delta_{t-}u)^2 + \omega_0^2 \left( \theta \frac{1}{2}u e_{t-}u + (1 - \theta) \frac{1}{2}\mu_{t-}u^2 \right)$$

### ■ Conclusion

- famille de schéma conservatifs, pour tout  $\theta \in [0, 1]$
- énergie discrète associée conservée à chaque pas de temps

## CAS PARTICULIER $\theta = 1$

$$\delta_{tt}u + \omega_0^2 u = 0$$

1 oscillateur

**1 oscillateur  
linéaire**

Équation de  
Duffing

Oscillateur à  
impact

N degrés de  
liberté

Applications

## CAS PARTICULIER $\theta = 1$

$$u_{n+1} - 2u_n + u_{n-1} + h^2 \omega_0^2 u_n = 0$$

1 oscillateur

**1 oscillateur  
linéaire**

Équation de  
Duffing

Oscillateur à  
impact

N degrés de  
liberté

Applications

## CAS PARTICULIER $\theta = 1$

$$u_{n+1} = (2 - h^2 \omega_0^2) u_n - u_{n-1}$$

1 oscillateur

**1 oscillateur  
linéaire**

Équation de  
Duffing

Oscillateur à  
impact

N degrés de  
liberté

Applications

## CAS PARTICULIER $\theta = 1$

$$u_{n+1} = (2 - h^2\omega_0^2)u_n - u_{n-1}$$

- Stabilité : on calcule la transformée en  $z$ :  $u_n = z^n$ , avec  $z = e^{sh}$  :

$$z^2 + (h^2\omega_0^2 - 2)z + 1 = 0$$

1 oscillateur

1 oscillateur  
linéaire

Équation de  
Duffing

Oscillateur à  
impact

N degrés de  
liberté

Applications



## CAS PARTICULIER $\theta = 1$

$$u_{n+1} = (2 - h^2\omega_0^2)u_n - u_{n-1}$$

- Stabilité : on calcule la transformée en  $z$ :  $u_n = z^n$ , avec  $z = e^{sh}$  :

$$z^2 + (h^2\omega_0^2 - 2)z + 1 = 0$$

- Discriminant :  $\Delta = h^2\omega_0^2(h^2\omega_0^2 - 4)$
- Cas  $\Delta < 0$ , alors deux racines  $z_{\pm}$  complexes conjuguées telles que  $|z_{\pm}| = 1$ .
- $z_{\pm} = e^{j\omega_d h}$ , où  $\omega_d \neq \omega_0$
- solution discrète :  $u_n = A \cos(\omega_d nh) + B \sin(\omega_d nh)$ .

## CAS PARTICULIER $\theta = 1$

$$u_{n+1} = (2 - h^2\omega_0^2)u_n - u_{n-1}$$

- Stabilité : on calcule la transformée en  $z$ :  $u_n = z^n$ , avec  $z = e^{sh}$  :

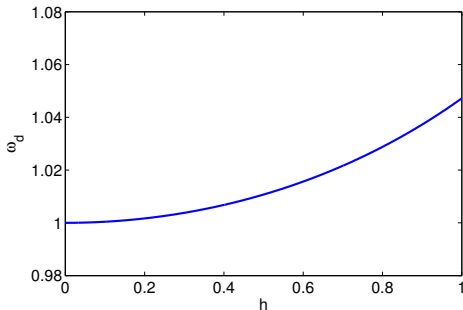
$$z^2 + (h^2\omega_0^2 - 2)z + 1 = 0$$

- Discriminant :  $\Delta = h^2\omega_0^2(h^2\omega_0^2 - 4)$
- Cas  $\Delta < 0$ , alors deux racines  $z_{\pm}$  complexes conjuguées telles que  $|z_{\pm}| = 1$ .
- $z_{\pm} = e^{j\omega_d h}$ , où  $\omega_d \neq \omega_0$
- solution discrète :  $u_n = A \cos(\omega_d nh) + B \sin(\omega_d nh)$ .
- Conclusions
  - Schéma stable ssi  $\Delta < 0$ , soit  $h\omega_0 < 2$ , ou encore  $f_e > \pi f_0$ .
  - fréquence numérique  $\omega_d$  différente de  $\omega_0$ :

$$\omega_d = \frac{1}{h} \operatorname{Arccos} \left( 1 - \frac{h^2\omega_0^2}{2} \right)$$

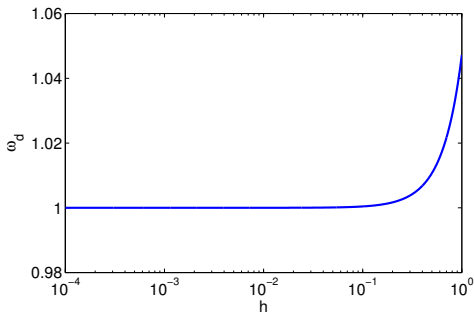
■ Fréquence numérique :

$$\omega_d = \frac{1}{h} \operatorname{Arccos} \left( 1 - \frac{h^2 \omega_0^2}{2} \right)$$



■ Fréquence numérique :

$$\omega_d = \frac{1}{h} \operatorname{Arccos} \left( 1 - \frac{h^2 \omega_0^2}{2} \right)$$



1 oscillateur

1 oscillateur  
linéaire

Équation de  
Duffing

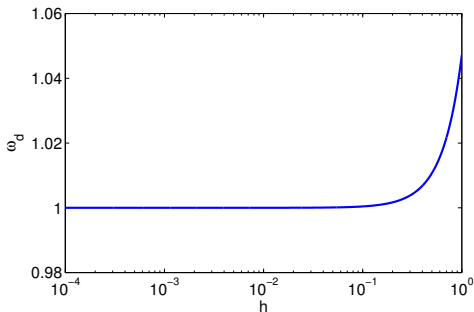
Oscillateur à  
impact

N degrés de  
liberté

Applications

■ Fréquence numérique :

$$\omega_d = \frac{1}{h} \operatorname{Arccos} \left( 1 - \frac{h^2 \omega_0^2}{2} \right)$$



■ Conclusion sur ce schéma:

- conditionnellement stable :  $h\omega_0 < 2$
- conservatif
- ordre 2, explicite, à deux pas
- surestime la fréquence naturelle du problème continu

## CAS PARTICULIER $\theta = 1$ : ÉNERGIES

- Énergie discrète:

$$h = \frac{1}{2}(\delta_{t-}u)^2 + \omega_0^2 \left( \frac{1}{2}ue_{t-}u \right)$$

1 oscillateur

1 oscillateur  
linéaire

Équation de  
Duffing

Oscillateur à  
impact

N degrés de  
liberté

Applications

## CAS PARTICULIER $\theta = 1$ : ÉNERGIES

### ■ Énergie discrète:

$$h_n = \frac{1}{2} \left( \frac{u_n - u_{n-1}}{h} \right)^2 + \frac{\omega_0^2}{2} u_n u_{n-1}$$

1 oscillateur

1 oscillateur  
linéaire

Équation de  
Duffing

Oscillateur à  
impact

N degrés de  
liberté

Applications

## CAS PARTICULIER $\theta = 1$ : ÉNERGIES

- Énergie discrète:

$$h_n = \frac{1}{2} \left( \frac{u_n - u_{n-1}}{h} \right)^2 + \frac{\omega_0^2}{2} u_n u_{n-1}$$

- Positivité ?

1 oscillateur

1 oscillateur  
linéaire

Équation de  
Duffing

Oscillateur à  
impact

N degrés de  
liberté

Applications



## CAS PARTICULIER $\theta = 1$ : ÉNERGIES

- Énergie discrète:

$$h_n = \frac{1}{2} \left( \frac{u_n - u_{n-1}}{h} \right)^2 + \frac{\omega_0^2}{2} u_n u_{n-1}$$

- Positivité ?

$$h_n = \frac{1}{2h^2} (u_n^2 + u_{n-1}^2) + \left( \frac{\omega_0^2}{2} - \frac{1}{h^2} \right) u_n u_{n-1}$$

## CAS PARTICULIER $\theta = 1$ : ÉNERGIES

- Énergie discrète:

$$h_n = \frac{1}{2} \left( \frac{u_n - u_{n-1}}{h} \right)^2 + \frac{\omega_0^2}{2} u_n u_{n-1}$$

- Positivité ?

$$h_n = u_n^2 + u_{n-1}^2 + 2h^2 \left( \frac{\omega_0^2}{2} - \frac{1}{h^2} \right) u_n u_{n-1}$$

## CAS PARTICULIER $\theta = 1$ : ÉNERGIES

### ■ Énergie discrète:

$$h_n = \frac{1}{2} \left( \frac{u_n - u_{n-1}}{h} \right)^2 + \frac{\omega_0^2}{2} u_n u_{n-1}$$

### ■ Positivité ?

$$h_n = u_n^2 + u_{n-1}^2 + 2h^2 \left( \frac{\omega_0^2}{2} - \frac{1}{h^2} \right) u_n u_{n-1}$$

↪ Forme quadratique en  $(x, y) = (u_n, u_{n-1})$ :  $x^2 + y^2 + 2axy$ ,  
avec  $a = h^2 \left( \frac{\omega_0^2}{2} - \frac{1}{h^2} \right)$ .

## CAS PARTICULIER $\theta = 1$ : ÉNERGIES

- Énergie discrète:

$$h_n = \frac{1}{2} \left( \frac{u_n - u_{n-1}}{h} \right)^2 + \frac{\omega_0^2}{2} u_n u_{n-1}$$

- Positivité ?

$$h_n = u_n^2 + u_{n-1}^2 + 2h^2 \left( \frac{\omega_0^2}{2} - \frac{1}{h^2} \right) u_n u_{n-1}$$

↪ Forme quadratique en  $(x, y) = (u_n, u_{n-1})$ :  $x^2 + y^2 + 2axy$ ,  
avec  $a = h^2 \left( \frac{\omega_0^2}{2} - \frac{1}{h^2} \right)$ .

- Résultat : pour  $|a| < 1$  : équation d'un paraboloides, défini positif.

## CAS PARTICULIER $\theta = 1$ : ÉNERGIES

- Énergie discrète:

$$h_n = \frac{1}{2} \left( \frac{u_n - u_{n-1}}{h} \right)^2 + \frac{\omega_0^2}{2} u_n u_{n-1}$$

- Positivité ?

$$h_n = u_n^2 + u_{n-1}^2 + 2h^2 \left( \frac{\omega_0^2}{2} - \frac{1}{h^2} \right) u_n u_{n-1}$$

↪ Forme quadratique en  $(x, y) = (u_n, u_{n-1})$ :  $x^2 + y^2 + 2axy$ ,  
avec  $a = h^2 \left( \frac{\omega_0^2}{2} - \frac{1}{h^2} \right)$ .

- Résultat : pour  $|a| < 1$  : équation d'un paraboloïde, défini positif.
- Condition de positivité de l'énergie discrète:

$$|a| < 1 \quad \Rightarrow \quad h\omega_0 < 2$$

↪ équivalent à la condition de stabilité trouvée précédemment.

## CAS PARTICULIER $\theta = 0$

$$\delta_{tt} \mathbf{u} + \omega_0^2 \mu_t \cdot \mathbf{u} = \mathbf{0}$$

1 oscillateur

**1 oscillateur  
linéaire**

Équation de  
Duffing

Oscillateur à  
impact

N degrés de  
liberté

Applications

## CAS PARTICULIER $\theta = 0$

$$u_{n+1} - 2u_n + u_{n-1} + h^2 \frac{\omega_0^2}{2} (u_{n+1} + u_{n-1}) = 0$$

1 oscillateur

1 oscillateur  
linéaire

Équation de  
Duffing

Oscillateur à  
impact

N degrés de  
liberté

Applications

## CAS PARTICULIER $\theta = 0$

$$u_{n+1} = \frac{2}{1 + \frac{h^2 \omega_0^2}{2}} u_n - u_{n-1}$$

1 oscillateur

1 oscillateur  
linéaire

Équation de  
Duffing

Oscillateur à  
impact

N degrés de  
liberté

Applications



$$u_{n+1} = \frac{2}{1 + \frac{h^2 \omega_0^2}{2}} u_n - u_{n-1}$$

- Stabilité. Polynôme caractéristique:

$$z^2 - \frac{2}{1 + \frac{h^2 \omega_0^2}{2}} z + 1 = 0$$

- Discriminant :  $\Delta = 4 \left( \frac{1}{(1+h^2\omega_0^2/2)^2} - 1 \right)$
- $\forall h, \quad \Delta < 0$ : schéma inconditionnellement stable.

$$u_{n+1} = \frac{2}{1 + \frac{h^2 \omega_0^2}{2}} u_n - u_{n-1}$$

- Stabilité. Polynôme caractéristique:

$$z^2 - \frac{2}{1 + \frac{h^2 \omega_0^2}{2}} z + 1 = 0$$

- Discriminant :  $\Delta = 4 \left( \frac{1}{(1 + h^2 \omega_0^2 / 2)^2} - 1 \right)$
- $\forall h, \Delta < 0$ : schéma inconditionnellement stable.
- Analyse énergétique:

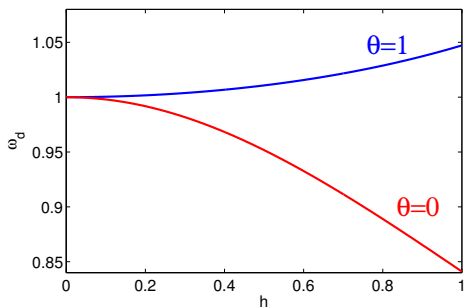
$$h = \frac{1}{2} (\delta_{t-} u)^2 + \omega_0^2 \left( \frac{1}{2} \mu_{t-} u^2 \right)$$

↪ énergie toujours positive!

## CAS PARTICULIER $\theta = 0$

- Fréquence numérique dans le cas  $\theta = 0$  :

$$\omega_d = \frac{1}{h} \operatorname{Arccos} \left( \frac{1}{1 + h^2 \omega_0^2 / 2} \right)$$



1 oscillateur

1 oscillateur  
linéaire

Équation de  
Duffing

Oscillateur à  
impact

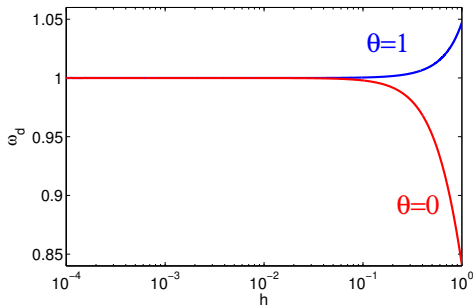
N degrés de  
liberté

Applications

## CAS PARTICULIER $\theta = 0$

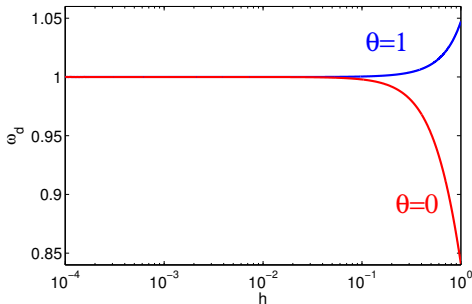
- Fréquence numérique dans le cas  $\theta = 0$  :

$$\omega_d = \frac{1}{h} \operatorname{Arccos} \left( \frac{1}{1 + h^2 \omega_0^2 / 2} \right)$$



- Fréquence numérique dans le cas  $\theta = 0$  :

$$\omega_d = \frac{1}{h} \operatorname{Arccos} \left( \frac{1}{1 + h^2 \omega_0^2 / 2} \right)$$



- Conclusion sur ce schéma ( $\theta = 0$ ):

- inconditionnellement stable
- conservatif
- ordre 2, explicite, à deux pas
- sous-estime la fréquence naturelle du problème continu

## FAMILLE DE SCHÉMA

- Pour la famille de schéma:  $\delta_{tt}u + \omega_0^2(\theta + (1 - \theta)\mu_t.)u = 0$
- Condition de stabilité :

$$\text{si } \theta \geq \frac{1}{2} : h\omega_0 < \frac{2}{\sqrt{2\theta - 1}}$$

$$\text{si } \theta < \frac{1}{2} : \text{inconditionnellement stable}$$

1 oscillateur

1 oscillateur  
linéaire

Équation de  
Duffing

Oscillateur à  
impact

N degrés de  
liberté

Applications

## FAMILLE DE SCHÉMA

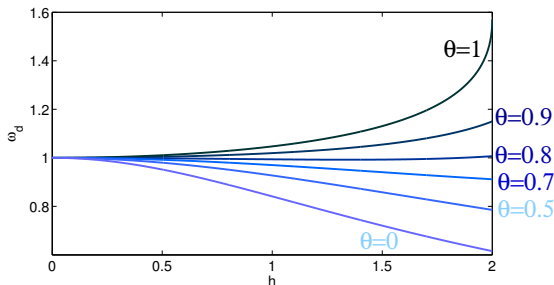
■ Pour la famille de schéma:  $\delta_{tt}u + \omega_0^2(\theta + (1 - \theta)\mu_t.)u = 0$

■ Condition de stabilité :

$$\text{si } \theta \geq \frac{1}{2} : h\omega_0 < \frac{2}{\sqrt{2\theta - 1}}$$

si  $\theta < \frac{1}{2}$  : inconditionnellement stable

■ Fréquence numérique :  $\omega_d = \frac{1}{h} \text{Arccos} \left( \frac{1 - \theta h^2 \omega_0^2 / 2}{1 + (1 - \theta) h^2 \omega_0^2 / 2} \right)$



## FAMILLE DE SCHÉMA

■ Pour la famille de schéma:  $\delta_{tt}u + \omega_0^2(\theta + (1 - \theta)\mu_t.)u = 0$

■ Condition de stabilité :

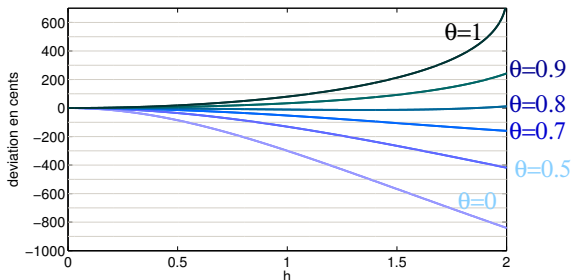
$$\text{si } \theta \geq \frac{1}{2} : h\omega_0 < \frac{2}{\sqrt{2\theta - 1}}$$

si  $\theta < \frac{1}{2}$  : inconditionnellement stable

■ Fréquence numérique :  $\omega_d = \frac{1}{h} \text{Arccos} \left( \frac{1 - \theta h^2 \omega_0^2 / 2}{1 + (1 - \theta) h^2 \omega_0^2 / 2} \right)$

■ Déviation en cents :  $1200 \log_2 \left( \frac{\omega_d}{\omega_0} \right)$ .

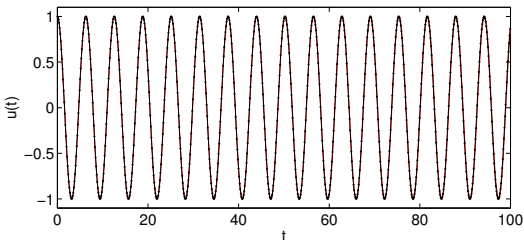
100 cents : intervalle musical d'un demi-ton



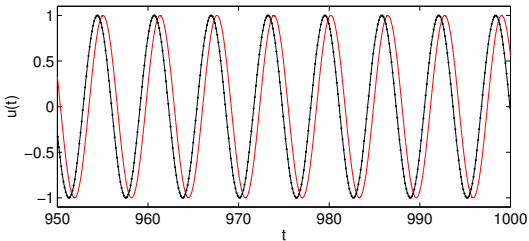


## ILLUSTRATIONS, $\theta=1$

- cas  $\theta=1$ ,  $\omega_0=1$ ,  $u_0=1$  et  $v_0=0$ ;  $h=0.125$  (50 points/période).  
Aux temps courts (solution analytique en rouge, numérique en noir)

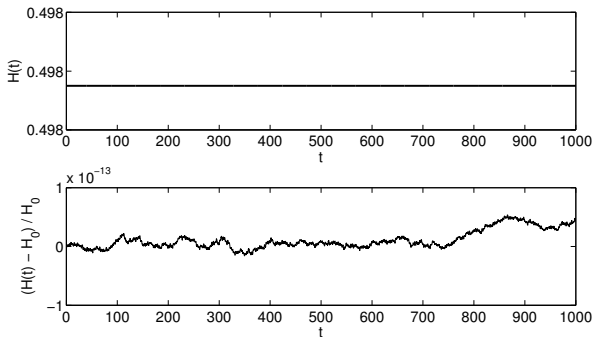


Aux temps longs (après 150 périodes) :



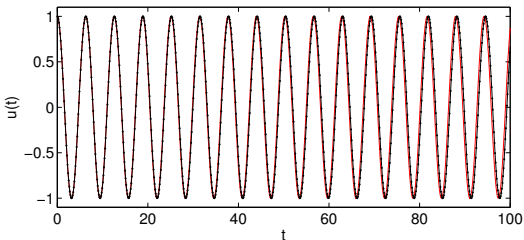
- cas  $\theta=1$ ,  $\omega_0=1$ ,  $u_0=1$  et  $v_0=0$ ;  $h=0.125$  (50 points/période).

Conservation de l'énergie:  
représentation de  $H(t)$  et  $(H(t) - H_0)/H_0$

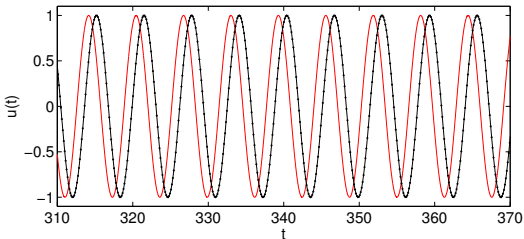


## ILLUSTRATIONS, $\theta=0$

- cas  $\theta=0$ ,  $\omega_0=1$ ,  $u_0=1$  et  $v_0=0$ ;  $h=0.125$  (50 points/période).  
Aux temps courts (solution analytique en rouge, numérique en noir)

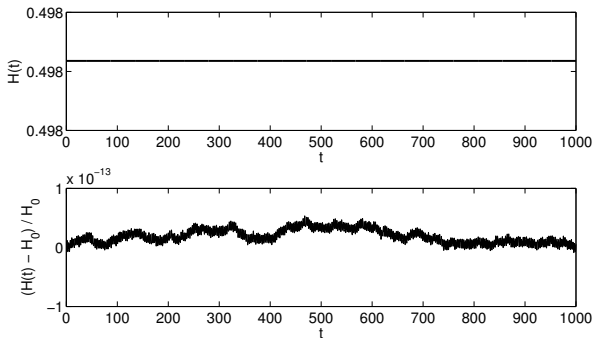


Aux temps longs (après 50 périodes) :



- cas  $\theta=0$ ,  $\omega_0=1$ ,  $u_0=1$  et  $v_0=0$ ;  $h=0.125$  (50 points/période).

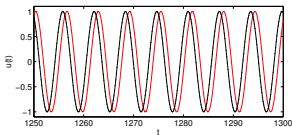
Conservation de l'énergie:  
représentation de  $H(t)$  et  $(H(t) - H_0)/H_0$



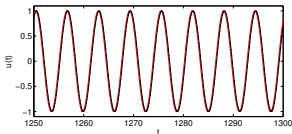
## ILLUSTRATIONS, TEMPS LONGS

- $\omega_0=1$ ,  $u_0=1$  et  $v_0=0$ ;  $h=0.125$  (50 points/période).  
Comparaisons de l'erreur sur l'estimation de la fréquence après 200 périodes.

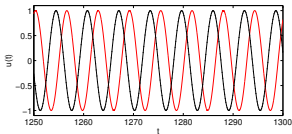
$\theta=1$



$\theta=0.8$



$\theta=0$



- Soit le schéma suivant:

$$u_{n+1} - 2 \cos(\omega_0 h) u_n + u_{n-1} = 0$$

Ce schéma est **exact**.

1 oscillateur

1 oscillateur  
linéaire

Équation de  
Duffing

Oscillateur à  
impact

N degrés de  
liberté

Applications

- Soit le schéma suivant:

$$u_{n+1} - 2 \cos(\omega_0 h) u_n + u_{n-1} = 0$$

Ce schéma est **exact**.

- Discriminant du polynôme caractéristique :

$$\Delta = 4 \cos^2(\omega_0 h) - 4 = -4 \sin^2(\omega_0 h).$$

- racines :  $z_{\pm} = \cos(\omega_0 h) \pm j \sin(\omega_0 h) = e^{j\omega_0 h}$

$$\rightsquigarrow \boxed{\omega_d = \omega_0}.$$

- Soit le schéma suivant:

$$u_{n+1} - 2 \cos(\omega_0 h) u_n + u_{n-1} = 0$$

Ce schéma est **exact**.

- Discriminant du polynôme caractéristique :

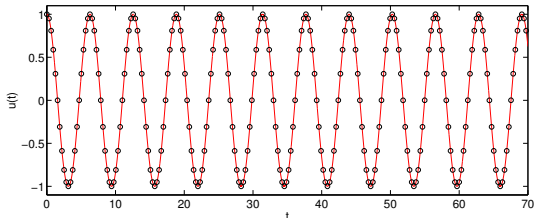
$$\Delta = 4 \cos^2(\omega_0 h) - 4 = -4 \sin^2(\omega_0 h).$$

- racines :  $z_{\pm} = \cos(\omega_0 h) \pm j \sin(\omega_0 h) = e^{j\omega_0 h}$

$$\rightsquigarrow \boxed{\omega_d = \omega_0}.$$

- Illustrations,  $\omega_0=1$ ,  $u_0=1$ .

$h=0.31$ , 20 points par périodes





- Soit le schéma suivant:

$$u_{n+1} - 2 \cos(\omega_0 h) u_n + u_{n-1} = 0$$

Ce schéma est **exact**.

- Discriminant du polynôme caractéristique :

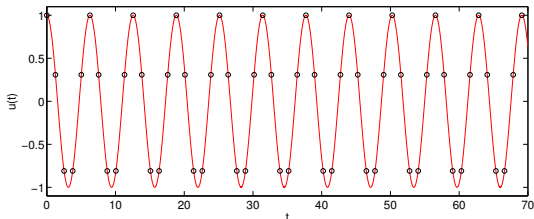
$$\Delta = 4 \cos^2(\omega_0 h) - 4 = -4 \sin^2(\omega_0 h).$$

- racines :  $z_{\pm} = \cos(\omega_0 h) \pm j \sin(\omega_0 h) = e^{j\omega_0 h}$

$$\rightsquigarrow \boxed{\omega_d = \omega_0}.$$

- Illustrations,  $\omega_0=1$ ,  $u_0=1$ .

$h=1.25$ , 5 points par périodes



- Soit le schéma suivant:

$$u_{n+1} - 2 \cos(\omega_0 h) u_n + u_{n-1} = 0$$

Ce schéma est **exact**.

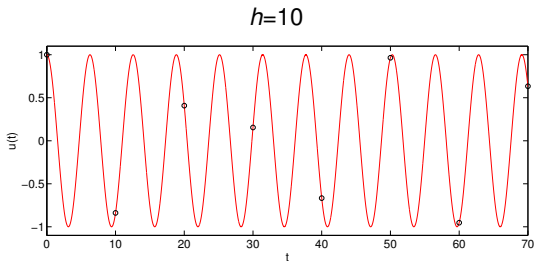
- Discriminant du polynôme caractéristique :

$$\Delta = 4 \cos^2(\omega_0 h) - 4 = -4 \sin^2(\omega_0 h).$$

- racines :  $z_{\pm} = \cos(\omega_0 h) \pm j \sin(\omega_0 h) = e^{j\omega_0 h}$

$$\rightsquigarrow \boxed{\omega_d = \omega_0}.$$

- Illustrations,  $\omega_0=1$ ,  $u_0=1$ .



## SCHÉMA EXACT - CAS AMORTI

- Pour l'oscillateur linéaire amorti :  $\ddot{u} + 2\xi\omega_0\dot{u} + \omega_0^2 u = 0$
- schéma exact:

$$u_{n+1} - e^{-\xi\omega_0 h} \left[ e^{h\omega_0\sqrt{\xi^2-1}} + e^{-h\omega_0\sqrt{\xi^2-1}} \right] u_n + e^{-2\xi h\omega_0} u_{n-1} = 0$$

1 oscillateur

1 oscillateur  
linéaire

Équation de  
Duffing

Oscillateur à  
impact

N degrés de  
liberté

Applications

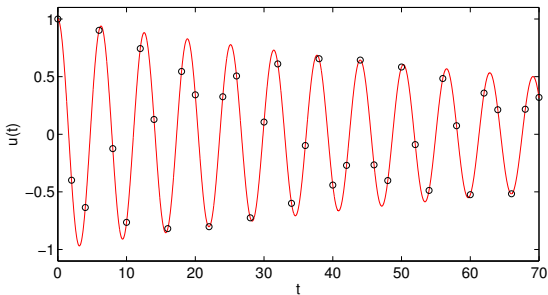
## SCHÉMA EXACT - CAS AMORTI

- Pour l'oscillateur linéaire amorti :  $\ddot{u} + 2\xi\omega_0\dot{u} + \omega_0^2u = 0$
- schéma exact:

$$u_{n+1} - e^{-\xi\omega_0 h} \left[ e^{h\omega_0\sqrt{\xi^2-1}} + e^{-h\omega_0\sqrt{\xi^2-1}} \right] u_n + e^{-2\xi h\omega_0} u_{n-1} = 0$$

- Illustrations,  $\omega_0=1$ ,  $u_0=1$ ,  $h=2$ .

$\xi=0.01$



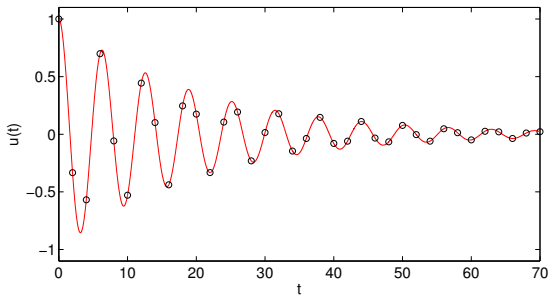
## SCHÉMA EXACT - CAS AMORTI

- Pour l'oscillateur linéaire amorti :  $\ddot{u} + 2\xi\omega_0\dot{u} + \omega_0^2 u = 0$
- schéma exact:

$$u_{n+1} - e^{-\xi\omega_0 h} \left[ e^{h\omega_0\sqrt{\xi^2-1}} + e^{-h\omega_0\sqrt{\xi^2-1}} \right] u_n + e^{-2\xi h\omega_0} u_{n-1} = 0$$

- Illustrations,  $\omega_0=1$ ,  $u_0=1$ ,  $h=2$ .

$$\xi=0.05$$



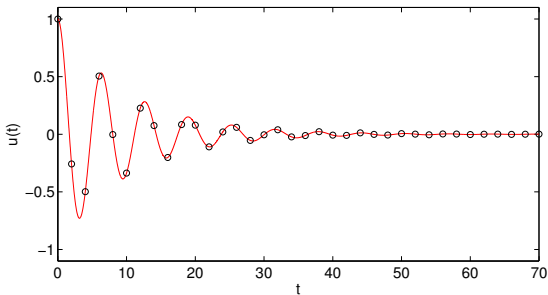
## SCHÉMA EXACT - CAS AMORTI

- Pour l'oscillateur linéaire amorti :  $\ddot{u} + 2\xi\omega_0\dot{u} + \omega_0^2u = 0$
- schéma exact:

$$u_{n+1} - e^{-\xi\omega_0 h} \left[ e^{h\omega_0\sqrt{\xi^2-1}} + e^{-h\omega_0\sqrt{\xi^2-1}} \right] u_n + e^{-2\xi h\omega_0} u_{n-1} = 0$$

- Illustrations,  $\omega_0=1$ ,  $u_0=1$ ,  $h=2$ .

$\xi=0.1$



## 1 oscillateur

1 oscillateur  
linéaire

Équation de  
Duffing

Oscillateur à  
impact

N degrés de  
liberté

Applications

## 1 1 OSCILLATEUR

- 1 oscillateur linéaire
- Équation de Duffing
- Oscillateur à impact

## 2 N DEGRÉS DE LIBERTÉ

- Systèmes Hamiltoniens, transformations symplectiques
- Schéma de Störmer-Verlet
- Méthodes de Runge-Kutta
- Symplecticité et conservation de l'énergie

## 3 APPLICATIONS

- Plaque mince : synthèse sonore de gong
- Corde avec contact unilatéral

- Équation de Duffing :

$$\ddot{u} + \omega_0^2 u + \gamma u^3 = 0$$

- Énergie

$$H = \frac{1}{2} \dot{u}^2 + \frac{1}{2} \omega_0^2 u^2 + \frac{1}{4} \gamma u^4$$



- Équation de Duffing :

$$\ddot{u} + \omega_0^2 u + \gamma u^3 = 0$$

- Énergie

$$H = \frac{1}{2} \dot{u}^2 + \frac{1}{2} \omega_0^2 u^2 + \frac{1}{4} \gamma u^4$$

- schéma le plus simple:

- cas  $\theta=1$  pour la partie linéaire
- terme non linéaire à l'instant courant

$$\delta_{tt} u + \omega_0^2 u + \gamma u^3 = 0$$

- Équation de Duffing :

$$\ddot{u} + \omega_0^2 u + \gamma u^3 = 0$$

- Énergie

$$H = \frac{1}{2} \dot{u}^2 + \frac{1}{2} \omega_0^2 u^2 + \frac{1}{4} \gamma u^4$$

- schéma le plus simple:

- cas  $\theta=1$  pour la partie linéaire
- terme non linéaire à l'instant courant

$$\delta_{tt} u + \omega_0^2 u + \gamma u^3 = 0$$

$$u_{n+1} - 2u_n + u_{n-1} + h^2 \omega_0^2 u_n + h^2 \gamma u_n^3 = 0$$

- Équation de Duffing :

$$\ddot{u} + \omega_0^2 u + \gamma u^3 = 0$$

- Énergie

$$H = \frac{1}{2} \dot{u}^2 + \frac{1}{2} \omega_0^2 u^2 + \frac{1}{4} \gamma u^4$$

- schéma le plus simple:

- cas  $\theta=1$  pour la partie linéaire
- terme non linéaire à l'instant courant

$$\delta_{tt} u + \omega_0^2 u + \gamma u^3 = 0$$

$$u_{n+1} - 2u_n + u_{n-1} + h^2 \omega_0^2 u_n + h^2 \gamma u_n^3 = 0$$

↪ *schéma de Störmer-Verlet.*

**ce schéma n'est pas conservatif.**

## ÉQUATION DE DUFFING

- Famille de schémas conservatifs pour l'équation de Duffing:

$$\delta_{tt} \mathbf{u} + \omega_0^2 (\theta_1 + (1 - \theta_1) \mu_t) \mathbf{u} + \gamma \left( \theta_2 \mathbf{u}^2 + (1 - \theta_2) \mu_t (\mathbf{u}^2) \right) \mu_t \mathbf{u} = 0$$

1 oscillateur

1 oscillateur  
linéaire

Équation de  
Duffing

Oscillateur à  
impact

N degrés de  
liberté

Applications

## ÉQUATION DE DUFFING

- Famille de schémas conservatifs pour l'équation de Duffing:

$$\delta_{tt} \mathbf{u} + \omega_0^2 (\theta_1 + (1 - \theta_1) \mu_t) \mathbf{u} + \gamma \left( \theta_2 \mathbf{u}^2 + (1 - \theta_2) \mu_t (\mathbf{u}^2) \right) \mu_t \mathbf{u} = 0$$

- Énergie discrète associée:

- cas  $\theta_2=1$  : identité remarquable :  $u_n^2 \mu_t (u_n) \delta_t (u_n) = \delta_{t+} \frac{1}{4} (u_n^2 u_{n-1}^2)$
- cas  $\theta_2=0$  :  $\mu_t (u_n^2) \mu_t (u_n) \delta_t (u_n) = \delta_{t+} \frac{1}{4} \mu_t - u_n^4$

1 oscillateur

1 oscillateur  
linéaire

Équation de  
Duffing

Oscillateur à  
impact

N degrés de  
liberté

Applications

- Famille de schémas conservatifs pour l'équation de Duffing:

$$\delta_{tt}u + \omega_0^2(\theta_1 + (1 - \theta_1)\mu_t.)u + \gamma \left( \theta_2 u^2 + (1 - \theta_2)\mu_t.(u^2) \right) \mu_t.u = 0$$

- Énergie discrète associée:

- cas  $\theta_2=1$  : identité remarquable :  $u_n^2 \mu_t.(u_n) \delta_t.(u_n) = \delta_{t+} \frac{1}{4} (u_n^2 u_{n-1}^2)$
- cas  $\theta_2=0$  :  $\mu_t.(u_n^2) \mu_t.(u_n) \delta_t.(u_n) = \delta_{t+} \frac{1}{4} \mu_t - u_n^4$

$$h = \frac{1}{2}(\delta_t - u)^2 + \omega_0^2 \left( \theta_1 \frac{1}{2} u e_{t-} u + (1 - \theta_1) \frac{1}{2} \mu_t - u^2 \right) + \frac{\gamma}{4} \left( \theta_2 u^2 (e_{t-} u)^2 + (1 - \theta_2) \mu_t - u^4 \right)$$

↪ terme NL de l'énergie discrète positif

↪ propriétés de stabilité héritée du choix de  $\theta_1$ .

- Famille de schémas conservatifs pour l'équation de Duffing:

$$\delta_{tt}u + \omega_0^2(\theta_1 + (1 - \theta_1)\mu_t)u + \gamma \left( \theta_2 u^2 + (1 - \theta_2)\mu_t(u^2) \right) \mu_t u = 0$$

- Énergie discrète associée:

- cas  $\theta_2=1$  : identité remarquable :  $u_n^2 \mu_t(u_n) \delta_t(u_n) = \delta_{t+} \frac{1}{4} (u_n^2 u_{n-1}^2)$
- cas  $\theta_2=0$  :  $\mu_t(u_n^2) \mu_t(u_n) \delta_t(u_n) = \delta_{t+} \frac{1}{4} \mu_t u_n^4$

$$h = \frac{1}{2}(\delta_t u)^2 + \omega_0^2 \left( \theta_1 \frac{1}{2} u e_t - u + (1 - \theta_1) \frac{1}{2} \mu_t - u^2 \right) + \frac{\gamma}{4} \left( \theta_2 u^2 (e_t - u)^2 + (1 - \theta_2) \mu_t - u^4 \right)$$

- ↪ terme NL de l'énergie discrète positif
- ↪ propriétés de stabilité héritée du choix de  $\theta_1$ .

- Cas  $\theta_2=0$  (et  $\theta_1=1$ ) :

$$\delta_{tt}u + \omega_0^2 u + \gamma \mu_t(u^2) \mu_t u = 0$$

## ÉQUATION DE DUFFING

- Famille de schémas conservatifs pour l'équation de Duffing:

$$\delta_{tt}u + \omega_0^2(\theta_1 + (1 - \theta_1)\mu_t.)u + \gamma \left( \theta_2 u^2 + (1 - \theta_2)\mu_t.(u^2) \right) \mu_t.u = 0$$

- Énergie discrète associée:

- cas  $\theta_2=1$  : identité remarquable :  $u_n^2 \mu_t.(u_n) \delta_t.(u_n) = \delta_{t+} \frac{1}{4} (u_n^2 u_{n-1}^2)$
- cas  $\theta_2=0$  :  $\mu_t.(u_n^2) \mu_t.(u_n) \delta_t.(u_n) = \delta_{t+} \frac{1}{4} \mu_t - u_n^4$

$$h = \frac{1}{2} (\delta_t - u)^2 + \omega_0^2 \left( \theta_1 \frac{1}{2} u e_t - u + (1 - \theta_1) \frac{1}{2} \mu_t - u^2 \right) + \frac{\gamma}{4} (\theta_2 u^2 (e_t - u)^2 + (1 - \theta_2) \mu_t - u^4)$$

↪ terme NL de l'énergie discrète positif

↪ propriétés de stabilité héritée du choix de  $\theta_1$ .

- Cas  $\theta_2=0$  (et  $\theta_1=1$ ) :

$$u_{n+1} - 2u_n + u_{n-1} + h^2 \omega_0^2 u_n + h^2 \frac{\gamma}{4} (u_{n+1} + u_{n-1})(u_{n+1}^2 + u_{n-1}^2) = 0$$



## ÉQUATION DE DUFFING

- Famille de schémas conservatifs pour l'équation de Duffing:

$$\delta_{tt}u + \omega_0^2(\theta_1 + (1 - \theta_1)\mu_t.)u + \gamma \left( \theta_2 u^2 + (1 - \theta_2)\mu_t.(u^2) \right) \mu_t.u = 0$$

- Énergie discrète associée:

- cas  $\theta_2=1$  : identité remarquable :  $u_n^2 \mu_t.(u_n) \delta_t.(u_n) = \delta_{t+} \frac{1}{4} (u_n^2 u_{n-1}^2)$
- cas  $\theta_2=0$  :  $\mu_t.(u_n^2) \mu_t.(u_n) \delta_t.(u_n) = \delta_{t+} \frac{1}{4} \mu_{t-} u_n^4$

$$h = \frac{1}{2} (\delta_{t-} u)^2 + \omega_0^2 \left( \theta_1 \frac{1}{2} u e_{t-} u + (1 - \theta_1) \frac{1}{2} \mu_{t-} u^2 \right) + \frac{\gamma}{4} (\theta_2 u^2 (e_{t-} u)^2 + (1 - \theta_2) \mu_{t-} u^4)$$

↪ terme NL de l'énergie discrète positif

↪ propriétés de stabilité héritée du choix de  $\theta_1$ .

- Cas  $\theta_2=0$  (et  $\theta_1=1$ ) :

$$u_{n+1} - 2u_n + u_{n-1} + h^2 \omega_0^2 u_n + h^2 \frac{\gamma}{4} (u_{n+1} + u_{n-1})(u_{n+1}^2 + u_{n-1}^2) = 0$$

- schéma implicite (équation cubique en  $u_{n+1}$  à résoudre à chaque pas de temps)
- difficulté supplémentaire dans la mise en œuvre

## EQUATION DE DUFFING - SCHÉMA EXPLICITE CONSERVATIF

- Le cas  $\theta_2=1$  donne lieu à une récursion à deux pas explicite

$$\delta_{tt}u + \omega_0^2(\theta_1 + (1 - \theta_1)\mu_t.)u + \gamma u^2 \mu_t. u = 0$$

1 oscillateur

1 oscillateur  
linéaire

Équation de  
Duffing

Oscillateur à  
impact

N degrés de  
liberté

Applications

## EQUATION DE DUFFING - SCHÉMA EXPLICITE CONSERVATIF

- Le cas  $\theta_2=1$  donne lieu à une récursion à deux pas explicite

$$u_{n+1} = \frac{2 - h^2 \omega_0^2 \theta_1}{1 + (1 - \theta_1) h^2 \omega_0^2 / 2 + \gamma h^2 u_n^2 / 2} u_n - u_{n-1}$$

1 oscillateur

1 oscillateur  
linéaire

Équation de  
Duffing

Oscillateur à  
impact

N degrés de  
liberté

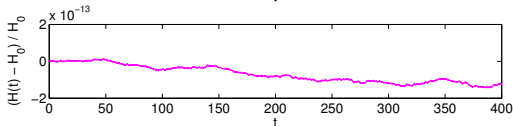
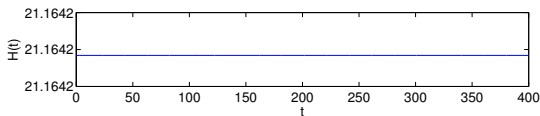
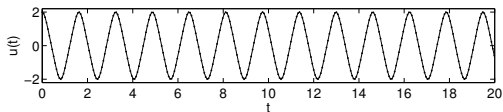
Applications

## EQUATION DE DUFFING - SCHÉMA EXPLICITE CONSERVATIF

- Le cas  $\theta_2=1$  donne lieu à une récursion à deux pas explicite

$$u_{n+1} = \frac{2 - h^2\omega_0^2\theta_1}{1 + (1 - \theta_1)h^2\omega_0^2/2 + \gamma h^2 u_n^2/2} u_n - u_{n-1}$$

- Illustration :  $\omega_0=1$ ,  $\gamma=5$ ,  $\theta_1=0.8$ ,  $h=0.0628$ .



## 1 oscillateur

1 oscillateur  
linéaire

Équation de  
Duffing

**Oscillateur à  
impact**

N degrés de  
liberté

Applications

- 1** 1 OSCILLATEUR
  - 1 oscillateur linéaire
  - Équation de Duffing
  - **Oscillateur à impact**

- 2** N DEGRÉS DE LIBERTÉ

- Systèmes Hamiltoniens, transformations symplectiques
- Schéma de Störmer-Verlet
- Méthodes de Runge-Kutta
- Symplecticité et conservation de l'énergie

- 3** APPLICATIONS

- Plaque mince : synthèse sonore de gong
- Corde avec contact unilatéral

## OSCILLATEUR À IMPACT - CONTACT UNILATÉRAL

### 1 oscillateur

1 oscillateur  
linéaire

Équation de  
Duffing

Oscillateur à  
impact

N degrés de  
liberté

Applications

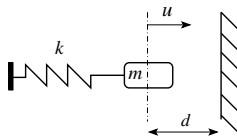
- Masse  $m$ , raideur  $k$ , mur rigide à distance  $d$

$$m\ddot{u} + ku = -f$$

- Force de contact régularisée :

$$f(u) = K [u - d]_+^\alpha$$

- $K, \alpha$  : paramètres de pénalisation
- $[\cdot]_+$  : partie positive
- si  $u \leq d, f = 0$
- si  $u > d, f(u) = K(u - d)^\alpha$



## OSCILLATEUR À IMPACT - CONTACT UNILATÉRAL

### 1 oscillateur

1 oscillateur  
linéaire

Équation de  
Duffing

Oscillateur à  
impact

N degrés de  
liberté

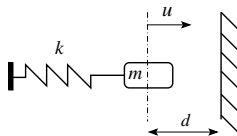
Applications

- Masse  $m$ , raideur  $k$ , mur rigide à distance  $d$

$$m\ddot{u} + ku = -f$$

- Force de contact régularisée :

$$f(u) = K [u - d]_+^\alpha$$



- $K, \alpha$  : paramètres de pénalisation
  - $[\cdot]_+$  : partie positive
  - si  $u \leq d, f = 0$
  - si  $u > d, f(u) = K(u - d)^\alpha$
- Force de contact dérive d'un potentiel

$$f = \frac{d\Phi}{du}, \quad \text{avec} \quad \Phi(u) = \frac{1}{\alpha + 1} [u - d]_+^{\alpha+1}$$

# OSCILLATEUR À IMPACT - CONTACT UNILATÉRAL

## 1 oscillateur

1 oscillateur  
linéaire

Équation de  
Duffing

Oscillateur à  
impact

N degrés de  
liberté

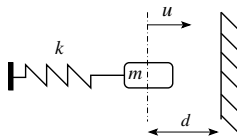
Applications

- Masse  $m$ , raideur  $k$ , mur rigide à distance  $d$

$$m\ddot{u} + ku = -f$$

- Force de contact régularisée :

$$f(u) = K [u - d]_+^\alpha$$



- $K, \alpha$  : paramètres de pénalisation
- $[\cdot]_+$  : partie positive
- si  $u \leq d, f = 0$
- si  $u > d, f(u) = K(u - d)^\alpha$

- Force de contact dérive d'un potentiel

$$f = \frac{d\Phi}{du}, \quad \text{avec} \quad \Phi(u) = \frac{1}{\alpha + 1} [u - d]_+^{\alpha+1}$$

- Énergies

$$m\ddot{u}\dot{u} + ku\dot{u} = -\frac{d\Phi}{du}\dot{u}$$



## OSCILLATEUR À IMPACT - CONTACT UNILATÉRAL

### 1 oscillateur

1 oscillateur  
linéaire

Équation de  
Duffing

Oscillateur à  
impact

N degrés de  
liberté

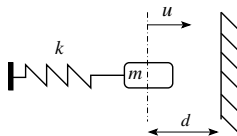
Applications

- Masse  $m$ , raideur  $k$ , mur rigide à distance  $d$

$$m\ddot{u} + ku = -f$$

- Force de contact régularisée :

$$f(u) = K [u - d]_+^\alpha$$



- $K, \alpha$  : paramètres de pénalisation
- $[\cdot]_+$  : partie positive
- si  $u \leq d, f = 0$
- si  $u > d, f(u) = K(u - d)^\alpha$

- Force de contact dérive d'un potentiel

$$f = \frac{d\Phi}{du}, \quad \text{avec} \quad \Phi(u) = \frac{1}{\alpha + 1} [u - d]_+^{\alpha+1}$$

- Énergies

$$\frac{d}{dt} \left( \frac{1}{2} m \dot{u}^2 + \frac{1}{2} k u^2 \right) = -\frac{d}{dt} (\Phi(u))$$

# OSCILLATEUR À IMPACT - CONTACT UNILATÉRAL

## 1 oscillateur

1 oscillateur  
linéaire

Équation de  
Duffing

Oscillateur à  
impact

N degrés de  
liberté

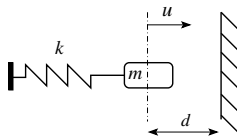
Applications

- Masse  $m$ , raideur  $k$ , mur rigide à distance  $d$

$$m\ddot{u} + ku = -f$$

- Force de contact régularisée :

$$f(u) = K [u - d]_+^\alpha$$



- $K, \alpha$  : paramètres de pénalisation
  - $[\cdot]_+$  : partie positive
  - si  $u \leq d, f = 0$
  - si  $u > d, f(u) = K(u - d)^\alpha$
- Force de contact dérive d'un potentiel

$$f = \frac{d\Phi}{du}, \quad \text{avec} \quad \Phi(u) = \frac{1}{\alpha + 1} [u - d]_+^{\alpha+1}$$

- Énergies

$$\frac{dH}{dt} = 0, \quad \text{avec} \quad H = \frac{1}{2} m\dot{u}^2 + \frac{1}{2} ku^2 + \Phi(u)$$

## ■ schéma conservatif

$$m\delta_{tt}u + k(\theta + (1 - \theta)\mu_t.)u = -f_n,$$

$$\text{avec } f_n = \frac{\delta_{t-}\Phi_{n+1/2}}{\delta_t.u}, \quad \text{et} \quad \Phi_{n+1/2} = \mu_{t+}\Phi(u_n)$$

$$\text{soit } f_n = \frac{\Phi(u_{n+1}) - \Phi(u_{n-1})}{u_{n+1} - u_{n-1}}$$

1 oscillateur

1 oscillateur  
linéaire

Équation de  
Duffing

Oscillateur à  
impact

N degrés de  
liberté

Applications

### ■ schéma conservatif

$$m\delta_{tt}u + k(\theta + (1 - \theta)\mu_{t.})u = -f_n,$$

$$\text{avec } f_n = \frac{\delta_{t-}\Phi_{n+1/2}}{\delta_t.u}, \quad \text{et} \quad \Phi_{n+1/2} = \mu_{t+}\Phi(u_n)$$

$$\text{soit } f_n = \frac{\Phi(u_{n+1}) - \Phi(u_{n-1})}{u_{n+1} - u_{n-1}}$$

### ■ Conservation de l'énergie discrète : terme de collision:

$$\frac{\delta_{t-}\Phi_{n+1/2}}{\delta_t.u} \delta_t.u$$

## ■ schéma conservatif

$$m\delta_{tt}u + k(\theta + (1 - \theta)\mu_{t.})u = -f_n,$$

$$\text{avec } f_n = \frac{\delta_{t-}\Phi_{n+1/2}}{\delta_{t.}u}, \quad \text{et} \quad \Phi_{n+1/2} = \mu_{t+}\Phi(u_n)$$

$$\text{soit } f_n = \frac{\Phi(u_{n+1}) - \Phi(u_{n-1})}{u_{n+1} - u_{n-1}}$$

## ■ Conservation de l'énergie discrète : terme de collision:

$$\frac{\delta_{t-}\Phi_{n+1/2}}{\delta_{t.}u} \cancel{\delta_{t.}u} = \delta_{t-}\Phi_{n+1/2}$$

### ■ schéma conservatif

$$m\delta_{tt}u + k(\theta + (1 - \theta)\mu_t)u = -f_n,$$

$$\text{avec } f_n = \frac{\delta_{t-}\Phi_{n+1/2}}{\delta_t.u}, \quad \text{et} \quad \Phi_{n+1/2} = \mu_{t+}\Phi(u_n)$$

$$\text{soit } f_n = \frac{\Phi(u_{n+1}) - \Phi(u_{n-1})}{u_{n+1} - u_{n-1}}$$

### ■ Conservation de l'énergie discrète : $\delta_{t-}h = 0$ , avec

$$h = \frac{1}{2}m(\delta_{t-}u)^2 + k\left(\theta\frac{1}{2}ue_{t-}u + (1 - \theta)\frac{1}{2}\mu_{t-}u^2\right) + \Phi_{n+1/2}$$

## ■ schéma conservatif

$$m\delta_{tt}u + k(\theta + (1 - \theta)\mu_{t-})u = -f_n,$$

$$\text{avec } f_n = \frac{\delta_{t-}\Phi_{n+1/2}}{\delta_{t-}u}, \quad \text{et} \quad \Phi_{n+1/2} = \mu_{t+}\Phi(u_n)$$

$$\text{soit } f_n = \frac{\Phi(u_{n+1}) - \Phi(u_{n-1})}{u_{n+1} - u_{n-1}}$$

## ■ Conservation de l'énergie discrète : $\delta_{t-}h = 0$ , avec

$$h = \frac{1}{2}m(\delta_{t-}u)^2 + k\left(\theta\frac{1}{2}u_{e_{t-}}u + (1 - \theta)\frac{1}{2}\mu_{t-}u^2\right) + \Phi_{n+1/2}$$

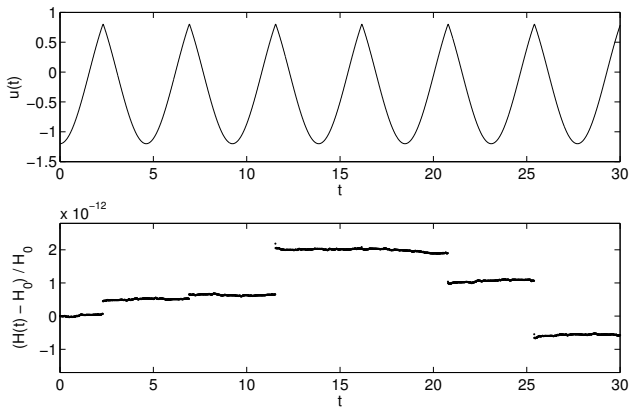
## ■ Résolution pratique :

$$\begin{aligned} u_{n+1} - 2u_n + u_{n-1} + \frac{kh^2}{m}\left(\theta u_n + (1 - \theta)\frac{u_{n+1} + u_{n-1}}{2}\right) \\ = -\frac{h^2}{m}\left[\frac{\Phi(u_{n+1}) - \Phi(u_{n-1})}{u_{n+1} - u_{n-1}}\right] \end{aligned}$$

↪ Newton-Raphson...

## OSCILLATEUR À IMPACT

- Illustration :  $m = k=1$ ,  $K=10^{10}$ ,  $\alpha=1.3$ ,  $d=0.8$ ,  $h=0.01$





## 1 oscillateur

### N degrés de liberté

Systèmes  
Hamiltoniens,  
transformations  
symplectiques

Schéma de  
Störmer-Verlet

Méthodes de  
Runge-Kutta

Symplecticité et  
conservation de  
l'énergie

## Applications

## 1 OSCILLATEUR

- 1 oscillateur linéaire
- Équation de Duffing
- Oscillateur à impact

## 2 N DEGRÉS DE LIBERTÉ

- Systèmes Hamiltoniens, transformations symplectiques
- Schéma de Störmer-Verlet
- Méthodes de Runge-Kutta
- Symplecticité et conservation de l'énergie

## 3 APPLICATIONS

- Plaque mince : synthèse sonore de gong
- Corde avec contact unilatéral

1 oscillateur

N degrés de  
liberté

**Systèmes  
Hamiltoniens,  
transformations  
symplectiques**

Schéma de  
Störmer-Verlet

Méthodes de  
Runge-Kutta

Symplecticité et  
conservation de  
l'énergie

Applications

## 1 OSCILLATEUR

- 1 oscillateur linéaire
- Équation de Duffing
- Oscillateur à impact

## 2 N DEGRÉS DE LIBERTÉ

- **Systèmes Hamiltoniens, transformations symplectiques**
- Schéma de Störmer-Verlet
- Méthodes de Runge-Kutta
- Symplecticité et conservation de l'énergie

## 3 APPLICATIONS

- Plaque mince : synthèse sonore de gong
- Corde avec contact unilatéral

- Systèmes dynamiques :

$$\dot{\mathbf{y}} = \mathbf{f}(\mathbf{y}, t), \quad \mathbf{y} \in \mathbb{R}^d.$$

- Système Hamiltonien :  
coordonnées généralisées  $(\mathbf{p}, \mathbf{q})$ ,  $\mathbf{p} = [p_1, \dots, p_d]^t$ , espace des  
phases de dimension  $2d$ , Hamiltonien  $H(\mathbf{p}, \mathbf{q})$ .  
Équations du mouvement:

$$\dot{p}_i = -\frac{\partial H}{\partial q_i},$$

$$\dot{q}_i = \frac{\partial H}{\partial p_i},$$

- Systèmes dynamiques :

$$\dot{\mathbf{y}} = \mathbf{f}(\mathbf{y}, t), \quad \mathbf{y} \in \mathbb{R}^d.$$

- Système Hamiltonien :  
coordonnées généralisées  $(\mathbf{p}, \mathbf{q})$ ,  $\mathbf{p} = [p_1, \dots, p_d]^t$ , espace des phases de dimension  $2d$ , Hamiltonien  $H(\mathbf{p}, \mathbf{q})$ .  
Équations du mouvement:

$$\dot{p}_i = -\frac{\partial H}{\partial q_i},$$

$$\dot{q}_i = \frac{\partial H}{\partial p_i},$$

- Écriture sous forme plus compacte:

$$\dot{\mathbf{y}} = \mathbf{J}^{-1} \nabla H(\mathbf{y}),$$

avec  $\mathbf{y} = (\mathbf{p}, \mathbf{q})$  et  $\mathbf{J}$  la matrice définie par:

$$\mathbf{J} = \begin{pmatrix} 0 & \mathbf{I}_d \\ -\mathbf{I}_d & 0 \end{pmatrix}$$

1 oscillateur

N degrés de  
liberté

Systèmes  
Hamiltoniens,  
transformations  
symplectiques

Schéma de  
Störmer-Verlet

Méthodes de  
Runge-Kutta

Symplecticité et  
conservation de  
l'énergie

Applications

## ■ Intégrale première du mouvement

(invariants, constantes du mouvement, quantité conservée...)

Pour un système dynamique autonome :  $\dot{\mathbf{y}} = \mathbf{f}(\mathbf{y})$ ,

intégrale première  $I(\mathbf{y})$  fonction non-constante vérifiant :

$$I'(\mathbf{y})\mathbf{f}(\mathbf{y}) = 0 \quad \text{pour tout } \mathbf{y}.$$

1 oscillateur

N degrés de  
liberté

Systèmes  
Hamiltoniens,  
transformations  
symplectiques

Schéma de  
Störmer-Verlet

Méthodes de  
Runge-Kutta

Symplecticité et  
conservation de  
l'énergie

Applications

- Intégrale première du mouvement

(invariants, constantes du mouvement, quantité conservée...)

Pour un système dynamique autonome :  $\dot{\mathbf{y}} = \mathbf{f}(\mathbf{y})$ ,  
intégrale première  $I(\mathbf{y})$  fonction non-constante vérifiant :

$$I'(\mathbf{y})\mathbf{f}(\mathbf{y}) = 0 \quad \text{pour tout } \mathbf{y}.$$

- En particulier:

Soit  $\mathbf{y}(t)$  une orbite du système, alors:

$$\forall t, I(\mathbf{y}(t)) = I(\mathbf{y}_0)$$

1 oscillateur

N degrés de  
liberté

Systèmes  
Hamiltoniens,  
transformations  
symplectiques

Schéma de  
Störmer-Verlet

Méthodes de  
Runge-Kutta

Symplecticité et  
conservation de  
l'énergie

Applications

- Intégrale première du mouvement

(invariants, constantes du mouvement, quantité conservée...)

Pour un système dynamique autonome :  $\dot{\mathbf{y}} = \mathbf{f}(\mathbf{y})$ ,  
intégrale première  $I(\mathbf{y})$  fonction non-constante vérifiant :

$$I'(\mathbf{y})\mathbf{f}(\mathbf{y}) = 0 \quad \text{pour tout } \mathbf{y}.$$

- En particulier:

Soit  $\mathbf{y}(t)$  une orbite du système, alors:

$$\forall t, I(\mathbf{y}(t)) = I(\mathbf{y}_0)$$

↪ le Hamiltonien (énergie totale) est une intégrale première

# TRANSFORMATIONS SYMPLECTIQUES

- Symplecticité : *conservation de la somme des aires orientées*

1 oscillateur

N degrés de  
liberté

**Systèmes  
Hamiltoniens,  
transformations  
symplectiques**

Schéma de  
Störmer-Verlet

Méthodes de  
Runge-Kutta

Symplecticité et  
conservation de  
l'énergie

Applications



## TRANSFORMATIONS SYMPLECTIQUES

- Symplecticité : *conservation de la somme des aires orientées*
- Soient  $\xi = [\xi^p \ \xi^q]^t$  et  $\eta = [\eta^p \ \eta^q]^t$  deux vecteurs de  $\mathbb{R}^{2d}$ ,  
et  $P$  le parallélogramme bidim de  $\mathbb{R}^{2d}$  engendré par  $\xi$  et  $\eta$ :

$$P = \{t\xi + s\eta, t \in [0, 1], s \in [0, 1]\}.$$

1 oscillateur

N degrés de  
liberté

Systèmes  
Hamiltoniens,  
transformations  
symplectiques

Schéma de  
Störmer-Verlet

Méthodes de  
Runge-Kutta

Symplecticité et  
conservation de  
l'énergie

Applications

## TRANSFORMATIONS SYMPLECTIQUES

- Symplecticité : *conservation de la somme des aires orientées*
- Soient  $\xi = [\xi^p \ \xi^q]^t$  et  $\eta = [\eta^p \ \eta^q]^t$  deux vecteurs de  $\mathbb{R}^{2d}$ , et  $P$  le parallélogramme bidim de  $\mathbb{R}^{2d}$  engendré par  $\xi$  et  $\eta$ :

$$P = \{t\xi + s\eta, t \in [0, 1], s \in [0, 1]\}.$$

- Soit  $\omega(\xi, \eta)$  la somme des aires orientées des projections de  $P$  sur les plans de coordonnées  $(p_i, q_i)$ ,

$$\omega(\xi, \eta) = \sum_{i=1}^d \det \begin{pmatrix} \xi_i^p & \eta_i^p \\ \xi_i^q & \eta_i^q \end{pmatrix} = \sum_{i=1}^d \xi_i^p \eta_i^q - \xi_i^q \eta_i^p,$$

## TRANSFORMATIONS SYMPLECTIQUES

- Symplecticité : *conservation de la somme des aires orientées*
- Soient  $\xi = [\xi^p \ \xi^q]^t$  et  $\eta = [\eta^p \ \eta^q]^t$  deux vecteurs de  $\mathbb{R}^{2d}$ ,  
et  $P$  le parallélogramme bidim de  $\mathbb{R}^{2d}$  engendré par  $\xi$  et  $\eta$ :

$$P = \{t\xi + s\eta, t \in [0, 1], s \in [0, 1]\}.$$

- Soit  $\omega(\xi, \eta)$  la somme des aires orientées des projections de  $P$  sur les plans de coordonnées  $(p_i, q_i)$ ,

$$\omega(\xi, \eta) = \sum_{i=1}^d \det \begin{pmatrix} \xi_i^p & \eta_i^p \\ \xi_i^q & \eta_i^q \end{pmatrix} = \sum_{i=1}^d \xi_i^p \eta_i^q - \xi_i^q \eta_i^p,$$

- Définition:  
Une application différentiable  $g : U \subset \mathbb{R}^{2d} \longrightarrow \mathbb{R}^{2d}$  est symplectique  
si la matrice jacobienne  $g'(\mathbf{p}, \mathbf{q})$  est partout symplectique, soit:

$$g'(\mathbf{p}, \mathbf{q})^t \mathbf{J} g'(\mathbf{p}, \mathbf{q}) = \mathbf{J}, \quad \text{ou} \quad \omega(g'(\mathbf{p}, \mathbf{q})\xi, g'(\mathbf{p}, \mathbf{q})\eta) = \omega(\xi, \eta).$$

## TRANSFORMATIONS SYMPLECTIQUES

- Symplecticité : *conservation de la somme des aires orientées*
- Soient  $\xi = [\xi^p \ \xi^q]^t$  et  $\eta = [\eta^p \ \eta^q]^t$  deux vecteurs de  $\mathbb{R}^{2d}$ ,  
et  $P$  le parallélogramme bidim de  $\mathbb{R}^{2d}$  engendré par  $\xi$  et  $\eta$ :

$$P = \{t\xi + s\eta, t \in [0, 1], s \in [0, 1]\}.$$

- Soit  $\omega(\xi, \eta)$  la somme des aires orientées des projections de  $P$  sur les plans de coordonnées  $(p_i, q_i)$ ,

$$\omega(\xi, \eta) = \sum_{i=1}^d \det \begin{pmatrix} \xi_i^p & \eta_i^p \\ \xi_i^q & \eta_i^q \end{pmatrix} = \sum_{i=1}^d \xi_i^p \eta_i^q - \xi_i^q \eta_i^p,$$

- Définition:  
Une application différentiable  $g : U \subset \mathbb{R}^{2d} \longrightarrow \mathbb{R}^{2d}$  est symplectique  
si la matrice jacobienne  $g'(\mathbf{p}, \mathbf{q})$  est partout symplectique, soit:

$$g'(\mathbf{p}, \mathbf{q})^t \mathbf{J} g'(\mathbf{p}, \mathbf{q}) = \mathbf{J}, \quad \text{ou} \quad \omega(g'(\mathbf{p}, \mathbf{q})\xi, g'(\mathbf{p}, \mathbf{q})\eta) = \omega(\xi, \eta).$$

- *Théorème (Poincaré, 1899) :*  
Soit  $H(\mathbf{p}, \mathbf{q})$  un Hamiltonien continûment différentiable deux fois sur  
un sous-ensemble  $U \subset \mathbb{R}^{2d}$ . Alors, pour tout temps  $t$ , le flot  $\phi_t$   
associé est une transformation symplectique.

1 oscillateur

N degrés de  
liberté

Systèmes  
Hamiltoniens,  
transformations  
symplectiques

**Schéma de  
Störmer-Verlet**

Méthodes de  
Runge-Kutta

Symplecticité et  
conservation de  
l'énergie

Applications

## 1 OSCILLATEUR

- 1 oscillateur linéaire
- Équation de Duffing
- Oscillateur à impact

## 2 N DEGRÉS DE LIBERTÉ

- Systèmes Hamiltoniens, transformations symplectiques
- **Schéma de Störmer-Verlet**
- Méthodes de Runge-Kutta
- Symplecticité et conservation de l'énergie

## 3 APPLICATIONS

- Plaque mince : synthèse sonore de gong
- Corde avec contact unilatéral

# SCHÉMA DE STÖRMER-VERLET

1 oscillateur

N degrés de  
liberté

Systèmes  
Hamiltoniens,  
transformations  
symplectiques

**Schéma de  
Störmer-Verlet**

Méthodes de  
Runge-Kutta

Symplecticité et  
conservation de  
l'énergie

Applications

- Pour les systèmes du second ordre :

$$\ddot{\mathbf{q}} = \mathbf{f}(\mathbf{q}),$$

- schéma de Störmer-Verlet (ou leap-frog ou saute-mouton) :

$$\mathbf{q}_{n+1} - 2\mathbf{q}_n + \mathbf{q}_{n-1} = h^2 \mathbf{f}(\mathbf{q}_n).$$

- Propriétés :
  - ordre 2
  - symétrique
  - **symplectique**
  - condition de stabilité :  $h\omega \leq 2$

1 oscillateur

N degrés de  
liberté

Systèmes  
Hamiltoniens,  
transformations  
symplectiques  
Schéma de  
Störmer-Verlet

**Méthodes de  
Runge-Kutta**

Symplecticité et  
conservation de  
l'énergie

Applications

## 1 OSCILLATEUR

- 1 oscillateur linéaire
- Équation de Duffing
- Oscillateur à impact

## 2 N DEGRÉS DE LIBERTÉ

- Systèmes Hamiltoniens, transformations symplectiques
- Schéma de Störmer-Verlet
- **Méthodes de Runge-Kutta**
- Symplecticité et conservation de l'énergie

## 3 APPLICATIONS

- Plaque mince : synthèse sonore de gong
- Corde avec contact unilatéral

## MÉTHODES DE RUNGE-KUTTA

- Définition : Soient  $\{b_i, a_{ij}\}_{i,j=1\dots s} \in \mathbb{R}$ , et  $c_i = \sum_{j=1}^s a_{ij}$ .  
Méthode de Runge-Kutta à  $s$  étapes :

$$k_i = \mathbf{f}(\mathbf{y}_n + h \sum_{j=1}^s a_{ij} k_j, t_n + c_i h), \quad \text{pour } i = 1, \dots, s$$

$$\mathbf{y}_{n+1} = \mathbf{y}_n + h \sum_{i=1}^s b_i k_i$$

- Représentation sous forme de tableau :

$$\begin{array}{c|ccc} c_1 & a_{11} & \cdots & a_{1s} \\ \vdots & \vdots & & \vdots \\ c_s & a_{s1} & \cdots & a_{ss} \\ \hline & b_1 & \cdots & b_s \end{array}$$

- Remarque : lorsque  $a_{ij} = 0$ , pour  $i \leq j$ , la méthode de Runge-Kutta est *explicite*. Sinon elle est *implicite*.



## MÉTHODES DE RUNGE-KUTTA : EXEMPLES

- Runge-Kutta d'ordre 2 (méthodes explicites) :

$$\begin{array}{c|cc} 0 & 0 & 0 \\ 1 & 1 & 0 \\ \hline & 1/2 & 1/2 \end{array}$$

$$\begin{array}{c|cc} 0 & 0 & 0 \\ 1/2 & 1/2 & 0 \\ \hline & 0 & 1 \end{array}$$

- Méthodes explicites d'ordre 4 :

$$\begin{array}{c|cccc} 0 & 0 & 0 & 0 & 0 \\ 1/2 & 1/2 & 0 & 0 & 0 \\ 1/2 & 0 & 1/2 & 0 & 0 \\ 1 & 0 & 0 & 1 & 0 \\ \hline & 1/6 & 2/6 & 2/6 & 1/6 \end{array}$$

$$\begin{array}{c|cccc} 0 & 0 & 0 & 0 & 0 \\ 1/3 & 1/3 & 0 & 0 & 0 \\ 2/3 & -1/3 & 1 & 0 & 0 \\ 1 & 1 & -1 & 1 & 0 \\ \hline & 1/8 & 3/8 & 3/8 & 1/8 \end{array}$$

1 oscillateur

N degrés de  
liberté

Systèmes  
Hamiltoniens,  
transformations  
symplectiques

Schéma de  
Störmer-Verlet

**Méthodes de  
Runge-Kutta**

Symplecticité et  
conservation de  
l'énergie

Applications

## MÉTHODES DE RUNGE-KUTTA : EXEMPLES

- Runge-Kutta d'ordre 2 (méthodes explicites) :

$$\begin{array}{c|cc} 0 & 0 & 0 \\ 1 & 1 & 0 \\ \hline & 1/2 & 1/2 \end{array} \qquad \begin{array}{c|cc} 0 & 0 & 0 \\ 1/2 & 1/2 & 0 \\ \hline & 0 & 1 \end{array}$$

- Méthodes explicites d'ordre 4 :

$$\begin{array}{c|cccc} 0 & 0 & 0 & 0 & 0 \\ 1/2 & 1/2 & 0 & 0 & 0 \\ 1/2 & 0 & 1/2 & 0 & 0 \\ 1 & 0 & 0 & 1 & 0 \\ \hline & 1/6 & 2/6 & 2/6 & 1/6 \end{array} \qquad \begin{array}{c|cccc} 0 & 0 & 0 & 0 & 0 \\ 1/3 & 1/3 & 0 & 0 & 0 \\ 2/3 & -1/3 & 1 & 0 & 0 \\ 1 & 1 & -1 & 1 & 0 \\ \hline & 1/8 & 3/8 & 3/8 & 1/8 \end{array}$$

- Ordre d'un schéma de Runge-Kutta (conditions cumulatives) :

$$\text{ordre 1 : } \sum_i b_i = 1$$

$$\text{ordre 2 : } \sum_i b_i c_i = 1/2$$

$$\text{ordre 3 : } \sum_i b_i c_i^2 = 1/3 \quad \text{et} \quad \sum_{i,j} b_i a_{ij} c_j = 1/6.$$

1 oscillateur

N degrés de  
liberté

Systèmes  
Hamiltoniens,  
transformations  
symplectiques

Schéma de  
Störmer-Verlet

**Méthodes de  
Runge-Kutta**

Symplecticité et  
conservation de  
l'énergie

Applications

# MÉTHODES DE RUNGE-KUTTA : PROPRIÉTÉS

1 oscillateur

N degrés de  
liberté

Systèmes  
Hamiltoniens,  
transformations  
symplectiques

Schéma de  
Störmer-Verlet

**Méthodes de  
Runge-Kutta**

Symplecticité et  
conservation de  
l'énergie

Applications

## ■ Conservation des invariants quadratiques

■ invariant quadratique :  $I(y) = \mathbf{y}^t \mathbf{C} \mathbf{y}$

exemple : énergie

■ **Théorème** : Une méthode de Runge-Kutta conserve les invariants quadratiques si ses coefficients vérifient les relations :

$$b_i a_{ij} + b_j a_{ji} = b_i b_j, \quad \forall (i, j) \in [1, s]^2.$$

# MÉTHODES DE RUNGE-KUTTA : PROPRIÉTÉS

1 oscillateur

N degrés de  
liberté

Systèmes  
Hamiltoniens,  
transformations  
symplectiques

Schéma de  
Störmer-Verlet

**Méthodes de  
Runge-Kutta**

Symplecticité et  
conservation de  
l'énergie

Applications

## ■ Conservation des invariants quadratiques

- invariant quadratique :  $I(y) = \mathbf{y}^t \mathbf{C} \mathbf{y}$

exemple : énergie

- **Théorème** : Une méthode de Runge-Kutta conserve les invariants quadratiques si ses coefficients vérifient les relations :

$$b_i a_{ij} + b_j a_{ji} = b_i b_j, \quad \forall (i, j) \in [1, s]^2.$$

- En pratique très peu de cas... Méthodes de Gauss

- Méthode de Gauss à une étape  $\equiv$  point milieu implicite (ordre 2)

$$\mathbf{y}_{n+1} = \mathbf{y}_n + h \mathbf{f}\left(\frac{\mathbf{y}_n + \mathbf{y}_{n+1}}{2}\right).$$

- Méthode de Gauss d'ordre 4:

$\frac{1}{2} - \frac{\sqrt{3}}{6}$	$\frac{1}{4}$	$\frac{1}{4} - \frac{\sqrt{3}}{6}$
$\frac{1}{2} + \frac{\sqrt{3}}{6}$	$\frac{1}{4} + \frac{\sqrt{3}}{6}$	$\frac{1}{4}$
	$\frac{1}{2}$	$\frac{1}{2}$

# MÉTHODES DE RUNGE-KUTTA : PROPRIÉTÉS

1 oscillateur

N degrés de liberté

Systèmes Hamiltoniens, transformations symplectiques

Schéma de Störmer-Verlet

Méthodes de Runge-Kutta

Symplecticité et conservation de l'énergie

Applications

## ■ Conservation des invariants quadratiques

- invariant quadratique :  $I(y) = \mathbf{y}^t \mathbf{C} \mathbf{y}$

exemple : énergie

- **Théorème** : Une méthode de Runge-Kutta conserve les invariants quadratiques si ses coefficients vérifient les relations :

$$b_i a_{ij} + b_j a_{ji} = b_i b_j, \quad \forall (i, j) \in [1, s]^2.$$

- En pratique très peu de cas... Méthodes de Gauss

- Méthode de Gauss à une étape  $\equiv$  point milieu implicite (ordre 2)

$$\mathbf{y}_{n+1} = \mathbf{y}_n + h \mathbf{f}\left(\frac{\mathbf{y}_n + \mathbf{y}_{n+1}}{2}\right).$$

- Méthode de Gauss d'ordre 4:

$$\begin{array}{c|cc} \frac{1}{2} - \frac{\sqrt{3}}{6} & \frac{1}{4} & \frac{1}{4} - \frac{\sqrt{3}}{6} \\ \frac{1}{2} + \frac{\sqrt{3}}{6} & \frac{1}{4} + \frac{\sqrt{3}}{6} & \frac{1}{4} \\ \hline & \frac{1}{2} & \frac{1}{2} \end{array}$$

- Toutes les méthodes de Runge-Kutta préservant les intégrales premières quadratiques sont symplectiques.

$\rightsquigarrow$  les méthodes de Gauss sont symplectiques.

1 oscillateur

N degrés de  
liberté

Systèmes  
Hamiltoniens,  
transformations  
symplectiques

Schéma de  
Störmer-Verlet

Méthodes de  
Runge-Kutta

**Symplecticité et  
conservation de  
l'énergie**

Applications

## 1 OSCILLATEUR

- 1 oscillateur linéaire
- Équation de Duffing
- Oscillateur à impact

## 2 N DEGRÉS DE LIBERTÉ

- Systèmes Hamiltoniens, transformations symplectiques
- Schéma de Störmer-Verlet
- Méthodes de Runge-Kutta
- **Symplecticité et conservation de l'énergie**

## 3 APPLICATIONS

- Plaque mince : synthèse sonore de gong
- Corde avec contact unilatéral

# SYMPLECTICITÉ ET CONSERVATION DE L'ÉNERGIE

1 oscillateur

N degrés de  
liberté

Systèmes  
Hamiltoniens,  
transformations  
symplectiques

Schéma de  
Störmer-Verlet

Méthodes de  
Runge-Kutta

**Symplecticité et  
conservation de  
l'énergie**

Applications

- Dans la plupart des cas, les schémas numériques ne peuvent pas conserver **simultanément** l'énergie et être symplectique.

[Z. Ge and J.E. Marsden : Lie-Poisson Hamilton-Jacobi theory and Lie-Poisson integrators, *Physics Letters A*, 1988.]

↪ 2 catégories de schémas:

- *energy-momentum scheme*
- *symplectic-momentum scheme*

- quelques exceptions:
  - lorsque le système hamiltonien est complètement intégrable
  - algorithme à pas de temps variable

1 oscillateur

N degrés de  
liberté

## Applications

Plaque mince :  
synthèse sonore  
de gong

Corde avec  
contact unilatéral

## 1 OSCILLATEUR

- 1 oscillateur linéaire
- Équation de Duffing
- Oscillateur à impact

## 2 N DEGRÉS DE LIBERTÉ

- Systèmes Hamiltoniens, transformations symplectiques
- Schéma de Störmer-Verlet
- Méthodes de Runge-Kutta
- Symplecticité et conservation de l'énergie

## 3 APPLICATIONS

- Plaque mince : synthèse sonore de gong
- Corde avec contact unilatéral



1 oscillateur

N degrés de  
liberté

Applications

**Plaque mince :  
synthèse sonore  
de gong**

Corde avec  
contact unilatéral

## 1 OSCILLATEUR

- 1 oscillateur linéaire
- Équation de Duffing
- Oscillateur à impact

## 2 N DEGRÉS DE LIBERTÉ

- Systèmes Hamiltoniens, transformations symplectiques
- Schéma de Störmer-Verlet
- Méthodes de Runge-Kutta
- Symplecticité et conservation de l'énergie

## 3 APPLICATIONS

- **Plaque mince : synthèse sonore de gong**
- Corde avec contact unilatéral

# ÉQUATIONS DE VON KÁRMÁN POUR LES PLAQUES MINCES

1 oscillateur

N degrés de  
liberté

Applications

Plaque mince :  
synthèse sonore  
de gong

Corde avec  
contact unilatéral

- inconnues:  
 $w(\mathbf{x}, t)$  : déplacement transverse,  
 $F(\mathbf{x}, t)$  : fonction d'Airy.

$$\rho h \ddot{w} + D \Delta \Delta w = L(w, F) + p(\mathbf{x}, t) - R(\mathbf{x}, t),$$

$$\Delta \Delta F = -\frac{Eh}{2} L(w, w).$$

- Paramètre matériau : masse volumique  $\rho$ , module d'Young  $E$ , coefficient de Poisson  $\nu$ .
- Géométrie : épaisseur  $h$ , rigidité en flexion  $D = Eh^3/12(1 - \nu^2)$ .
- $R(\mathbf{x}, t)$  représente les pertes

# ÉQUATIONS DE VON KÁRMÁN POUR LES PLAQUES MINCES

1 oscillateur

N degrés de  
liberté

Applications

Plaque mince :  
synthèse sonore  
de gong

Corde avec  
contact unilatéral

- inconnues:  
 $w(\mathbf{x}, t)$  : déplacement transverse,  
 $F(\mathbf{x}, t)$  : fonction d'Airy.

$$\rho h \ddot{w} + D \Delta \Delta w = L(w, F) + p(\mathbf{x}, t) - R(\mathbf{x}, t),$$

$$\Delta \Delta F = -\frac{Eh}{2} L(w, w).$$

- Paramètre matériau : masse volumique  $\rho$ , module d'Young  $E$ , coefficient de Poisson  $\nu$ .
  - Géométrie : épaisseur  $h$ , rigidité en flexion  $D = Eh^3/12(1 - \nu^2)$ .
  - $R(\mathbf{x}, t)$  représente les pertes
- $L$  opérateur bilinéaire :

$$L(F, w) = F_{,xx} w_{,yy} + F_{,yy} w_{,xx} - 2F_{,xy} w_{,xy}$$

# ÉQUATIONS DE VON KÁRMÁN POUR LES PLAQUES MINCES

1 oscillateur

N degrés de  
liberté

Applications

Plaque mince :  
synthèse sonore  
de gong

Corde avec  
contact unilatéral

- inconnues:  
 $w(\mathbf{x}, t)$  : déplacement transverse,  
 $F(\mathbf{x}, t)$  : fonction d'Airy.

$$\rho h \ddot{w} + D \Delta \Delta w = L(w, F) + p(\mathbf{x}, t) - R(\mathbf{x}, t),$$

$$\Delta \Delta F = -\frac{Eh}{2} L(w, w).$$

- Paramètre matériau : masse volumique  $\rho$ , module d'Young  $E$ , coefficient de Poisson  $\nu$ .
  - Géométrie : épaisseur  $h$ , rigidité en flexion  $D = Eh^3/12(1 - \nu^2)$ .
  - $R(\mathbf{x}, t)$  représente les pertes
- $L$  opérateur bilinéaire :

$$L(F, w) = F_{,xx} w_{,yy} + F_{,yy} w_{,xx} - 2F_{,xy} w_{,xy}$$

- Géométrie et conditions aux limites, code existant pour:
  - plaque circulaire, bord libre et encasté
  - plaque rectangulaire, bords libres, simplement supportés, distribution linéique de ressorts.

- Discrétisation des deux inconnues :

$$w(\mathbf{x}, t) = \sum_{k=1}^{N_\Phi} q_k(t) \Phi_k(\mathbf{x}),$$

$$F(\mathbf{x}, t) = \sum_{k=1}^{N_\Psi} \eta_k(t) \Psi_k(\mathbf{x}),$$

1 oscillateur

N degrés de  
liberté

Applications

Plaque mince :  
synthèse sonore  
de gong

Corde avec  
contact unilatéral

- Discrétisation des deux inconnues :

$$w(\mathbf{x}, t) = \sum_{k=1}^{N_\Phi} q_k(t) \Phi_k(\mathbf{x}),$$

$$F(\mathbf{x}, t) = \sum_{k=1}^{N_\Psi} \eta_k(t) \Psi_k(\mathbf{x}),$$

- EDP projetées, système d'EDO en temps :

$$\ddot{q}_s + \omega_s^2 q_s + 2\xi_s \omega_s \dot{q}_s = \frac{1}{\rho h} \sum_{k=1}^{N_\Phi} \sum_{l=1}^{N_\Psi} E_{k,l}^S q_k \eta_l + p_s(t),$$

$$\eta_l = -\frac{Eh}{2\xi_l^4} \sum_{m,n} H_{m,n}^l q_m q_n.$$

avec

$$H_{i,j}^k = \int_S \Psi_k L(\Phi_i, \Phi_j) dS$$

$$E_{i,j}^S = \int_S \Phi_S L(\Phi_i, \Psi_j) dS.$$

■ Énergies cinétiques et potentielles :

E. cinétique: 
$$T = \int_S \frac{\rho h}{2} \dot{w}^2 dS,$$

E. potentielle (transverse): 
$$V = \int_S \frac{D}{2} (\Delta w)^2 dS,$$

E. potentielle (longi.): 
$$U = \int_S \frac{1}{2Eh} (\Delta F)^2 dS.$$

- Énergies cinétiques et potentielles :

$$\text{E. cinétique: } T = \int_S \frac{\rho h}{2} \dot{w}^2 dS,$$

$$\text{E. potentielle (transverse): } V = \int_S \frac{D}{2} (\Delta w)^2 dS,$$

$$\text{E. potentielle (longi.): } U = \int_S \frac{1}{2Eh} (\Delta F)^2 dS.$$

- Équivalents discrétisées (projection modale) :

$$T = \frac{\rho h}{2} \sum_{k=1}^{N_\Phi} \dot{q}_k^2(t),$$

$$V = \frac{\rho h}{2} \sum_{k=1}^{N_\Phi} \omega_k^2 q_k^2(t),$$

$$U = \frac{1}{2Eh} \sum_{k=1}^{N_\Psi} \zeta_k^4 \eta_k^2(t).$$



- Énergies cinétiques et potentielles :

$$\text{E. cinétique: } T = \int_S \frac{\rho h}{2} \dot{w}^2 dS,$$

$$\text{E. potentielle (transverse): } V = \int_S \frac{D}{2} (\Delta w)^2 dS,$$

$$\text{E. potentielle (longi.): } U = \int_S \frac{1}{2Eh} (\Delta F)^2 dS.$$

- Équivalents discrétisées (projection modale) :

$$T = \frac{\rho h}{2} \sum_{k=1}^{N_\Phi} \dot{q}_k^2(t),$$

$$V = \frac{\rho h}{2} \sum_{k=1}^{N_\Phi} \omega_k^2 q_k^2(t),$$

$$U = \frac{1}{2Eh} \sum_{k=1}^{N_\Psi} \zeta_k^4 \eta_k^2(t).$$

- L'énergie totale  $E = T + V + U$  est conservée:

$$\boxed{\frac{d}{dt}(T + V + U) = 0}$$

- schéma conservant l'énergie pour le pb discrétisé :

$$\delta_{tt} \mathbf{q}_s(n) + \omega_s^2 \mathbf{q}_s(n) = \frac{1}{\rho h} \sum_{k=1}^{N_\Phi} \sum_{l=1}^{N_\Psi} E_{k,l}^s \mathbf{q}_k(n) [\mu_{t-} \eta_l(n)];$$

$$\mu_{t-} \eta_l(n) = -\frac{Eh}{2\zeta_l^4} \sum_{i,j=1}^{N_\Phi} H_{i,j}^l \mathbf{q}_i(n) [\mathbf{e}_{t-} - \mathbf{q}_j(n)].$$

1 oscillateur

N degrés de  
liberté

Applications

Plaque mince :  
synthèse sonore  
de gong

Corde avec  
contact unilatéral

- schéma conservant l'énergie pour le pb discrétisé :

$$\delta_{tt} q_s(n) + \omega_s^2 q_s(n) = \frac{1}{\rho h} \sum_{k=1}^{N_\Phi} \sum_{l=1}^{N_\Psi} E_{k,l}^s q_k(n) [\mu_{t-} \eta_l(n)];$$

$$\mu_{t-} \eta_l(n) = -\frac{Eh}{2\zeta_l^4} \sum_{i,j=1}^{N_\Phi} H_{i,j}^l q_i(n) [e_{t-} - q_j(n)].$$

- Équivalent discret de l'énergie :

$$\mathbf{t} = \sum_{s=1}^{N_\Phi} \tau_s(n) = \frac{\rho h}{2} \sum_{s=1}^{N_\Phi} (\delta_{t-} q_s(n))^2,$$

$$\mathbf{v} = \sum_{s=1}^{N_\Phi} \nu_s(n) = \frac{\rho h}{2} \sum_{s=1}^{N_\Phi} \omega_s^2 q_s(n) (e_{t-} - q_s(n)),$$

$$\mathbf{u} = \sum_{l=1}^{N_\Psi} \nu_l(n) = \frac{1}{2Eh} \sum_{l=1}^{N_\Psi} \zeta_l^4 (\mu_{t-} (\eta_l(n) \eta_l(n))),$$

$$\delta_{t+} (\mathbf{t} + \mathbf{v} + \mathbf{u}) = 0$$

## SCHÉMA CONSERVATIF

- schéma conservant l'énergie pour le pb discrétisé :

$$\delta_{tt} q_s(n) + \omega_s^2 q_s(n) = \frac{1}{\rho h} \sum_{k=1}^{N_\Phi} \sum_{l=1}^{N_\Psi} E_{k,l}^s q_k(n) [\mu_{t-} \eta_l(n)];$$

$$\mu_{t-} \eta_l(n) = -\frac{Eh}{2\zeta_l^4} \sum_{i,j=1}^{N_\Phi} H_{i,j}^l q_i(n) [e_{t-} q_j(n)].$$

- Équivalent discret de l'énergie :

$$t = \sum_{s=1}^{N_\Phi} \tau_s(n) = \frac{\rho h}{2} \sum_{s=1}^{N_\Phi} (\delta_{t-} q_s(n))^2,$$

$$v = \sum_{s=1}^{N_\Phi} \nu_s(n) = \frac{\rho h}{2} \sum_{s=1}^{N_\Phi} \omega_s^2 q_s(n) (e_{t-} q_s(n)),$$

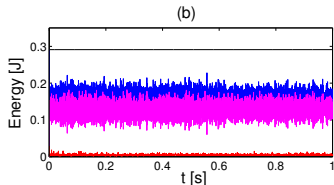
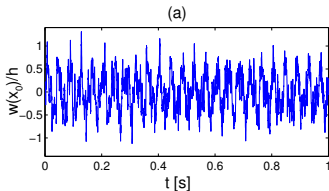
$$u = \sum_{l=1}^{N_\Psi} v_l(n) = \frac{1}{2Eh} \sum_{l=1}^{N_\Psi} \zeta_l^4 (\mu_{t-} (\eta_l(n) \eta_l(n))),$$

$$\delta_{t+}(t + v + u) = 0$$

- schéma conditionnellement stable :  $h\omega_{N_\Phi} < 2 \Leftrightarrow f_e > \pi f_{N_\Phi}$

## CONSERVATION DE L'ÉNERGIE

- Cas d'une plaque rectangulaire,  $L_x=0.4$  m,  $L_y=0.6$  m,  $h=1$  mm
- paramètres matériau :  $E=200$  GPa,  $\nu=0.3$ ,  $\rho=7860$  kg.m<sup>-3</sup>
- excitation : impulsion Dirac localisée en temps et en espace, pas d'amortissement.
- $N_\Phi = 100$ ,  $N_\Psi = 200$ .
- $f_{N_\Phi} = 1400$  Hz,  $f_e = 10$  kHz.



noir : énergie discrète totale  $E = t + v + u$

bleu : énergie cinétique  $t$

magenta : énergie potentielle transverse  $v$

rouge : énergie potentielle longitudinale  $u$

## PLAQUE CIRCULAIRE, CAS D'UN GONG

- Matériau:  $E=2.10^{11}$  Pa,  $\nu=0.3$  and  $\rho=7860$  kg.m<sup>-3</sup>
- Géométrie : rayon  $a=0.4$  m, épaisseur  $h=1$  mm.

1 oscillateur

N degrés de  
liberté

Applications

**Plaque mince :**  
**synthèse sonore**  
**de gong**

Corde avec  
contact unilatéral

## PLAQUE CIRCULAIRE, CAS D'UN GONG

- Matériau:  $E=2.10^{11}$  Pa,  $\nu=0.3$  and  $\rho=7860$  kg.m<sup>-3</sup>
- Géométrie : rayon  $a=0.4$  m, épaisseur  $h=1$  mm.
- Simulation : 1000 modes transverses  
Condition de stabilité :  $f_s > \pi f_{1000} \Rightarrow f_s > 18055$  Hz.
- $f_s=40$  kHz.
- Excitation : force localisée en temps et en espace, proche du bord ( $r = 0.92a$ ).  
Sortie : déplacement en  $r = 0.896a$ , angle arbitraire 0.519 radians.

## PLAQUE CIRCULAIRE, CAS D'UN GONG

1 oscillateur

N degrés de  
liberté

Applications

Plaque mince :  
synthèse sonore  
de gong

Corde avec  
contact unilatéral

- Matériau:  $E=2.10^{11}$  Pa,  $\nu=0.3$  and  $\rho=7860$  kg.m<sup>-3</sup>
- Géométrie : rayon  $a=0.4$  m, épaisseur  $h=1$  mm.
- Simulation : 1000 modes transverses  
Condition de stabilité :  $f_s > \pi f_{1000} \Rightarrow f_s > 18055$  Hz.
- $f_s=40$  kHz.
- Excitation : force localisée en temps et en espace, proche du bord ( $r = 0.92a$ ).  
Sortie : déplacement en  $r = 0.896a$ , angle arbitraire 0.519 radians.
- Amortissement :  $c_p \dot{q}_p$ ,  $c_p = 0.005\omega_p^{0.6}$ .
- 2 amplitudes de force :  $p_m=40$  N and 80 N.



## PLAQUE CIRCULAIRE, CAS D'UN GONG

1 oscillateur

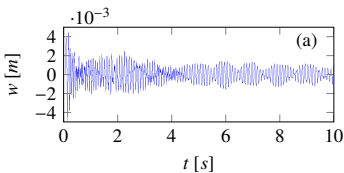
N degrés de  
liberté

Applications

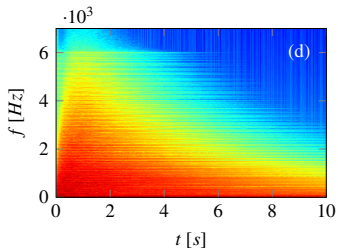
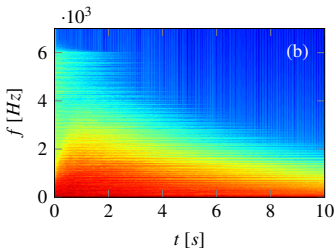
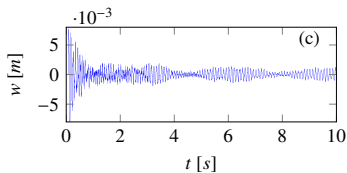
Plaque mince :  
synthèse sonore  
de gong

Corde avec  
contact unilatéral

$$\rho_m = 40 \text{ N}$$



$$\rho_m = 80 \text{ N}$$



## PLAQUE RECTANGULAIRE

1 oscillateur

N degrés de  
liberté

Applications

Plaque mince :  
synthèse sonore  
de gong

Corde avec  
contact unilatéral

- taille de la plaque :  $L_x=0.6\text{m}$ ,  $L_y=0.8\text{m}$ , épaisseur  $h=1\text{mm}$ .
- bords simplement supportés.
- Amortissement:  $c_p = 0.005\omega_p^{0.6}$
- $N_\Phi=800$  modes ( $f_{N_\Phi} = 5295$  Hz)
- $f_S=40$  kHz

## PLAQUE RECTANGULAIRE

1 oscillateur

N degrés de  
liberté

Applications

Plaque mince :  
synthèse sonore  
de gong

Corde avec  
contact unilatéral

- taille de la plaque :  $L_x=0.6\text{m}$ ,  $L_y=0.8\text{m}$ , épaisseur  $h=1\text{mm}$ .
  - bords simplement supportés.
  - Amortissement:  $c_p = 0.005\omega_p^{0.6}$
  - $N_\Phi=800$  modes ( $f_{N_\Phi} = 5295$  Hz)
  - $f_S=40$  kHz
- 
- influence de la forme ?

1 oscillateur

N degrés de  
liberté

Applications

Plaque mince :  
synthèse sonore  
de gong

Corde avec  
contact unilatéral

## 1 OSCILLATEUR

- 1 oscillateur linéaire
- Équation de Duffing
- Oscillateur à impact

## 2 N DEGRÉS DE LIBERTÉ

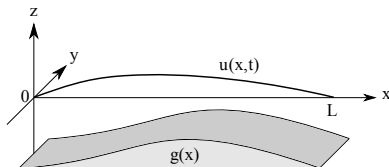
- Systèmes Hamiltoniens, transformations symplectiques
- Schéma de Störmer-Verlet
- Méthodes de Runge-Kutta
- Symplecticité et conservation de l'énergie

## 3 APPLICATIONS

- Plaque mince : synthèse sonore de gong
- Corde avec contact unilatéral

## CORDE VIBRANTE - CONTACT UNILATÉRAL

- corde raide, déplacement transverse  $u(x, t)$ , obstacle  $g(x)$



- Équations du mouvement:

$$\mu \frac{\partial^2 u}{\partial t^2} - T \frac{\partial^2 u}{\partial x^2} + EI \frac{\partial^4 u}{\partial x^4} = f,$$

conditions aux limites :  $u(0, t) = u(L, t) = u_{xx}(0, t) = u_{xx}(L, t) = 0$

- Force de contact régularisée

$$f(x, t) = K [\eta(x, t)]_+^\alpha, \quad \text{avec} \quad \eta(x, t) = g(x) - u(x, t)$$

- Énergie

$$\mathcal{H} = \int_0^L \left[ \frac{\mu}{2} (u_t)^2 + \frac{T}{2} (u_x)^2 + \frac{EI}{2} (u_{xx})^2 + \psi \right] dx, \quad \text{où} \quad f = \frac{d\psi}{d\eta}$$

- projection sur la base modale:

$$u(x, t) = \sum_{j=1}^{N_m} q_j(t) \phi_j(x), \quad \text{avec} \quad \phi_j(x) = \sqrt{\frac{2}{L}} \sin\left(\frac{j\pi x}{L}\right)$$

- Système dynamique:

$$\mu(\ddot{\mathbf{q}} + \Omega^2 \mathbf{q} + 2\Upsilon \dot{\mathbf{q}}) = \mathbf{F},$$

- $\Omega_{jj} = \omega_j \delta_{ij}$ , avec  $\omega_j = 2\pi j \frac{c_0}{2L} \sqrt{1 + B_j^2}$ , et  $c_0 = \sqrt{\frac{T}{\mu}}$ ,  $B = \frac{\pi^2 EI}{TL^2}$ .
  - $\Upsilon$  : matrice diagonale des amortissements modaux,  $\Upsilon_{jj} = \sigma_j$
  - $\mathbf{F}$  vecteur de force modale,  $F_j = \int_0^L f(x, t) \phi_j(x) dx$ .
- Traitement de la force de contact dans le domaine spatial:  
grille spatiale  $x_i = i\Delta x$ , avec  $\Delta x = \frac{L}{N}$  pas d'espace et  $i \in \{0, \dots, N\}$ .  
En choisissant :  $N_m = N - 1$

$$u(x_i, t) = u_i(t) = \sum_{j=1}^{N-1} q_j(t) \phi_j(x_i) = \sum_{j=1}^{N-1} q_j(t) \sqrt{\frac{2}{L}} \sin\left(\frac{j\pi i}{N}\right).$$

Soit  $\mathbf{u} = \mathbf{S}\mathbf{q}$ .

- Pour la partie vibratoire linéaire (sans contact):  
Utilisation du **schéma exact**

$$\frac{\mu}{h^2} \left( \mathbf{q}^{n+1} - \mathbf{Cq}^n + \tilde{\mathbf{C}}\mathbf{q}^{n-1} \right) = \mathbf{0},$$

avec:

$$C_{i,j} = e^{-h\sigma_i} \left( e^{\sqrt{\sigma_i^2 - \omega_i^2}h} + e^{-\sqrt{\sigma_i^2 - \omega_i^2}h} \right),$$

$$\tilde{C}_{i,j} = e^{-2h\sigma_i}.$$

- Pour la partie vibratoire linéaire (sans contact):  
Utilisation du **schéma exact**

$$\frac{\mu}{h^2} \left( \mathbf{q}^{n+1} - \mathbf{Cq}^n + \tilde{\mathbf{C}}\mathbf{q}^{n-1} \right) = \mathbf{0},$$

avec:

$$C_{i,j} = e^{-h\sigma_i} \left( e^{\sqrt{\sigma_i^2 - \omega_i^2}h} + e^{-\sqrt{\sigma_i^2 - \omega_i^2}h} \right),$$
$$\tilde{C}_{i,j} = e^{-2h\sigma_i}.$$

- Pour le contact : résolution en  $\mathbf{u}$

$$\frac{\mu}{h^2} \left( \mathbf{u}^{n+1} - \mathbf{D}\mathbf{u}^n + \tilde{\mathbf{D}}\mathbf{u}^{n-1} \right) = \mathbf{f}^n,$$

avec  $\mathbf{D} = \mathbf{SCS}^{-1}$  et  $\tilde{\mathbf{D}} = \mathbf{S}\tilde{\mathbf{C}}\mathbf{S}^{-1}$ .

Force de contact:

$$\mathbf{f}^n = \frac{\delta_t - \psi^{n+\frac{1}{2}}}{\delta_t \cdot \eta^n}, \quad \text{avec} \quad \psi^{n+\frac{1}{2}} = \frac{1}{2}(\psi^{n+1} + \psi^n)$$



## SCHÉMA NUMÉRIQUE - PROPRIÉTÉS

1 oscillateur

N degrés de  
liberté

Applications

Plaque mince :  
synthèse sonore  
de gong

Corde avec  
contact unilatéral

- ordre deux
- Sans dissipation ( $\forall i, \sigma_i = 0$ ), le schéma est **conservatif**.

$$\delta_{t-} H^{n+\frac{1}{2}} = 0$$

avec

$$H^{n+\frac{1}{2}} = \frac{\mu}{2} \left( \langle \delta_{t+} \mathbf{u}^n, \check{\mathbf{D}}_1 \delta_{t+} \mathbf{u}^n \rangle + \langle \mathbf{u}^{n+1}, \check{\mathbf{D}}_2 \mathbf{u}^n \rangle \right) + \langle \psi^{n+\frac{1}{2}}, \mathbf{1} \rangle.$$

- inconditionnellement stable
- en pratique : itération Newton-Raphson

## CORDE AVEC CONTACT - EXEMPLES

1 oscillateur

N degrés de  
liberté

Applications

Plaque mince :  
synthèse sonore  
de gong

Corde avec  
contact unilatéral

- corde tendue (guitare), paramètres physiques:  
 $L=1$  m,  $d=0.43$  mm,  $T=180.5$  N,  $\mu=1.17 \cdot 10^{-3}$  kg.m<sup>-1</sup>.  
Fréquence fondamentale 196 Hz.  
facteur d'inharmonicité :  $B=2 \cdot 10^{-5}$
- condition initiale : déplacement (triangle : corde pincée).
- paramètres de pénalisation pour la force de contact:  
 $K=10^{13}$ ,  $\alpha=1.5$ .
- modèle d'amortissement combinant pertes viscoélastiques,  
thermoélastiques et friction avec l'air ambiant.
- fréquence d'échantillonnage : 2 MHz.

## CORDE AVEC CONTACT - EXEMPLES

1 oscillateur

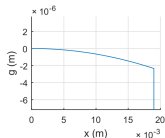
N degrés de  
liberté

Applications

Plaque mince :  
synthèse sonore  
de gong

Corde avec  
contact unilatéral

- corde tendue (guitare), paramètres physiques:  
 $L=1$  m,  $d=0.43$  mm,  $T=180.5$  N,  $\mu=1.17 \cdot 10^{-3}$  kg.m<sup>-1</sup>.  
Fréquence fondamentale 196 Hz.  
facteur d'inharmonicité :  $B=2 \cdot 10^{-5}$
- condition initiale : déplacement (triangle : corde pincée).
- paramètres de pénalisation pour la force de contact:  
 $K=10^{13}$ ,  $\alpha=1.5$ .
- modèle d'amortissement combinant pertes viscoélastiques,  
thermoélastiques et friction avec l'air ambiant.
- fréquence d'échantillonnage : 2 MHz.
- 2 cas différents:
  - cas du sitar : chevalet courbe de la forme  
 $g(x) = ax^2$ .
  - cas de la tampoura : chevalet à deux points  
modélisé par un contact ponctuel à 6mm du  
bord.



## CORDE AVEC CONTACT - EXEMPLES

1 oscillateur

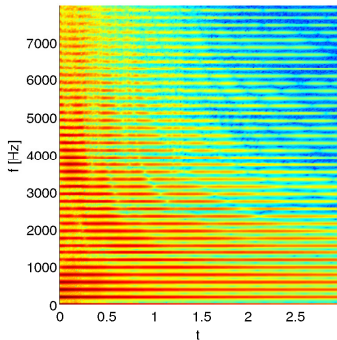
N degrés de  
liberté

Applications

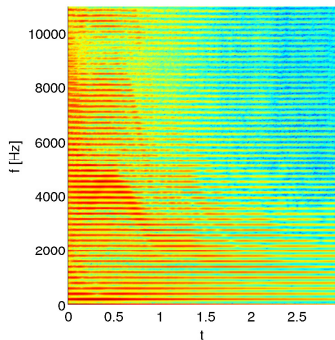
Plaque mince :  
synthèse sonore  
de gong

Corde avec  
contact unilatéral

Chevalet courbe,  
cas du sitar

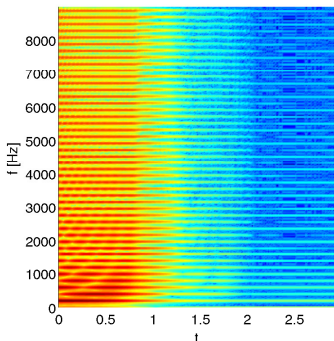


Chevalet ponctuel,  
cas de la tampa



## IMPORTANCE DE LA RAIDEUR

- la raideur (dispersion) est fondamentale pour comprendre le son de ces instruments !
- Simulation sans raideur :  $B = \frac{\pi^2 EI}{TL^2} = 0$ ,  
cas de la tamboura



### Livres

- S. Bilbao : Numerical Sound Synthesis: Finite Difference Schemes and Simulation in Musical Acoustics, Wiley, 2009.
- E. Hairer, C. Lubich, G. Wanner : Geometric numerical integration. Structure-preserving algorithms for ordinary differential equations, Springer, 2006.

### Articles

- M. Ducceschi, C. Touzé: Modal approach for nonlinear vibrations of damped impacted plates: Application to sound synthesis of gongs and cymbals, Journal of Sound and Vibration, vol. 344, 313-331, 2015.
- S. Bilbao, O. Thomas, C. Touzé, M. Ducceschi: Conservative numerical methods for the full von Kármán plate equations, Numerical Methods for Partial Differential Equations, vol. 31(6), 1948-1970, 2015.
- C. Issanchou, S. Bilbao, J.-L. Le Carrou, C. Touzé et O. Doaré: A modal-based approach for the nonlinear vibration of strings against a unilateral obstacle: simulations and experiments in the pointwise case, soumis au JSV, 2016.

